

КООРДИНАЦИОННЫЕ СОЕДИНЕНИЯ

УДК 541.49+537.622

Публикация посвящена 50-летию чл.-корр. РАН К.Ю. Жижина

СПИН-КРОССОВЕР В КОМПЛЕКСАХ ЖЕЛЕЗА(II) С ПОЛИАЗОТИСТЫМИ ГЕТЕРОЦИКЛИЧЕСКИМИ ЛИГАНДАМИ И ВНЕШНЕСФЕРНЫМИ КЛАСТЕРНЫМИ АНИОНАМИ БОРА (ОБЗОР)

© 2023 г. Л. Г. Лавренова^{a,*}, О. Г. Шакирова^b

^aИнститут неорганической химии им. А.В. Николаева СО РАН,
пр-т Академика Лаврентьева, 3, Новосибирск, 630090 Россия

^bКомсомольский-на-Амуре государственный университет,
пр-т Ленина, 27, Комсомольск-на-Амуре, 681013 Россия

*e-mail: ludm@niic.nsc.ru

Поступила в редакцию 21.01.2023 г.

После доработки 06.03.2023 г.

Принята к публикации 07.03.2023 г.

Рассмотрены результаты синтеза и исследования магнитно-активных комплексов железа(II) с полиазотистыми гетероциклическими лигандами и внешнесферными кластерными анионами бора. В качестве лигандов представлены производные 1,2,4-триазола, *tris*(пиразол-1-ил)метана, 2,6-бис(1Н-имидаэозол-2-ил)пиридина, в роли внешнесферных анионов исследованы декагидро-клоzo-декаборат, додекагидро-клоzo-додекаборат, декахлор-клоzo-декаборат, 1,5,6,10-тетра(R)-7,8-дикарба-нидо-ундекабораты (R = H, Cl, Br). Получен ряд комплексов железа(II), в котором проявляется спин-кроссовер, в большинстве случаев сопровождающийся термохромизмом. Рассмотрено влияние природы лиганда и кластерного аниона на температуру (T_c) и характер спинового перехода. В частности, показано, что введение в состав кластерного аниона заместителя, повышающего электронную плотность по системе сопряженных трехцентровых двухэлектронных связей, приводит к увеличению силы поля лиганда, который связан с анионом сетью водородных связей.

Ключевые слова: комплексы, железо(II), 1,2,4-триазолы, *tris*(пиразол-1-ил)метаны, 2,6-бис(1Н-имидаэозол-2-ил)пиридины, клоzo-бораты, карбораны, спин-кроссовер

DOI: 10.31857/S0044457X2360010X, **EDN:** UGIBJD

ВВЕДЕНИЕ

Координационные соединения железа(II) с полиазотсодержащими лигандами вызывают особый интерес вследствие того, что во многих из них проявляется феномен спин-кроссовера (СКО) – явления изменения спиновой мультиплетности под воздействием внешних условий, а именно: температуры, давления, облучения светом определенной длины волны, внешнего магнитного или электрического поля, управляемой светом изомеризации лигандов и сольватации/десольватации [1–10]. Достаточно часто СКО сопровождается термохромизмом – обратимым изменением цвета при температуре спинового перехода. Такие бистабильные молекулярные сенсоры могут быть востребованы для широкого спектра применения, в том числе в области нанотехнологий: устройства отображения и памяти, датчики [9, 11, 12], кон-

трастные вещества МРТ [13], термоэлектрохимические ячейки [14] и т. д.

Спин-кроссовер в комплексах железа(II) $^1\text{A}_1 \leftrightarrow ^5\text{T}_2$ – это не только обратимый переход центрального атома металла из низкоспинового (НС) в высокоспиновое (ВС) состояние, но и фазовый переход, поэтому его характер зависит от многих факторов. Переход может быть резким или постепенным, полным или неполным, с гистерезисом на кривой зависимости $\mu_{\text{эф}}(T)$ или без него, одно-, двух- или даже многоступенчатым. Температуры прямого перехода при нагревании ($T_c \uparrow$) и обратного при охлаждении ($T_c \downarrow$) при наличии гистерезиса зависят от состава соединений: природы лиганда, заместителя в лиганде, природы аниона, присутствия и числа молекул воды, структуры комплекса и т.д. Вследствие этого проводится поиск и исследование новых комплексов, демонстрирующих как термически ин-

дуцированный спин-кроссовер, так и LIESST (light-induced excited spin state trapping) [15, 16], а также изучение факторов, влияющих на характер СКО [17]. Большое внимание привлечено к поиску соединений, проявляющих бифункциональные свойства [18–21]. Кроме того, проводятся исследования комплексов, обладающих СКО, в растворах [22, 23].

Электронодефицитные кластерные анионы $[B_nH_n]^{2-}$ ($n = 10, 12$) при взаимодействии с ионами металлов-комплексообразователей могут проявлять функцию как лигандов, так и внешнесферных анионов. Реакции с M^{n+} клозо-боратов $[B_nH_n]^{2-}$ за счет координации кластерных анионов бора через ВН-группы приводят к образованию соединений с разнообразными составом и структурой [24–26]. Сведения о влиянии природы заместителей на координационные свойства моно- и дизамещенных производных кластерных анионов $[B_nH_n]^{2-}$ ($n = 10, 12$) и карборанов с экзополиэтическими В–Х-связями ($X = N, O, S, \text{Hal}$) систематизированы в обзоре [27].

Анионные кластеры бора – клозо-бораты и карбораны – очень устойчивы, нетоксичны, гидрофильны, биосовместимы и способны проникать через мембранны, вследствие чего они обладают фармакологическими свойствами широкого спектра действия [28–31]. Эти соединения перспективны для создания цитотоксических препаратов и в качестве препаратов для бор-нейтронозахватной терапии (БНЗТ), в бинарном методе лечения рака, основанном на ядерной реакции между атомами бора и низкоэнергетическими тепловыми нейtronами [32–34]. Соединения, содержащие кластерные анионы бора, могут применяться также в качестве контрастных агентов высокоеффективной МРТ [35]. Кроме того, они перспективны в антимикробной терапии [36].

Развивающиеся методы магнитного контроля и диагностики [37] направляют внимание химиков на получение магнитно-активных комплексов 3d-металлов, которые позволяют транспортировать бор направленным действием магнитного поля более эффективно.

Металлы первого переходного ряда ($Zn(\text{II})$, $Fe(\text{II})$, $Co(\text{II})$, $Ni(\text{II})$, $Cu(\text{II})$, $Mn(\text{II})$) образуют катионные комплексы с кластерными анионами бора в качестве противоионов [38–42]. В частности, с железом(II) в качестве центрального иона выделены аквакомплексы [38] и комплексы с азотсодержащими лигандами – 2,2'-дипиридилилом, 2,2'-бипиридилиламином и 1,10-фенантролином [39–42].

Вторичные взаимодействия, в которых участвуют декахлор-клозо-декаборат-анионы, изучены в сольватах $[Fe(\text{phen})_3][B_{10}\text{Cl}_{10}] \cdot 0.875\text{CH}_3\text{CN} \cdot 0.125\text{H}_2\text{O}$ (a), $\{[Fe(\text{bipy})_3][B_{10}\text{Cl}_{10}]\} \cdot 2\text{Bipy} \cdot 0.5\text{CH}_3\text{CN}$ (b), $\{[Fe(\text{bipy})_3]_2[B_{10}\text{Cl}_{10}]_2\} \cdot 2.25\text{CH}_3\text{CN}$ (c) и $[Fe(\text{bi}-$

$\text{py})_3][B_{10}\text{Cl}_{10}]_3 \cdot 2\text{CH}_3\text{CN} \cdot \text{H}_2\text{O}$ (d) [40]. Структуры a–d определены методом РСА, комплексы a–c изучены методом ^{35}Cl ЯКР-спектроскопии. Идентифицирован ряд взаимодействий C–H…Cl и $r\cdots\pi$ между атомами хлора и делокализованной электронной плотностью фенильных колец или групп $\text{C}\equiv\text{N}$ молекул ацетонитрила. Проведено сравнение результатов, полученных двумя методами, и оценена относительная сила вторичных взаимодействий. Магнитные свойства комплексов $Fe(\text{II})$ с 2,2'-дипиридилилом и 1,10-фенантролином не были исследованы.

Новосибирской группой в течение ряда лет проводятся работы по синтезу и исследованию комплексов железа(II) с полиазотистыми гетероциклическими лигандами различных классов: 1,2,4-триазолами [43], *трис*(пиразол-1-ил)метанами [8, 44] и 2,6-бис($1H$ -имидацол-2-ил)пиридинами (в настоящее время). Мы синтезировали комплексы $Fe(\text{II})$ с 2,6-бис(бензимидацол-2-ил)пиридином, 2,6-бис(4,5-диметил- $1H$ -имидацол-2-ил)пиридином, 2,6-бис($1H$ -имидацол-2-ил)пиридином в качестве лигандов и с клозо-борат(2–)-ионами $[B_{10}\text{H}_{10}]^{2-}$ и $[B_{12}\text{H}_{12}]^{2-}$ в качестве внешнесферных анионов [45–47]. Исследование полученных комплексов методами статической магнитной восприимчивости и мессбауэровской спектроскопии показало, что все они обладают спин-кроссовером $^1A_1 \leftrightarrow ^5T_2$. В данном обзоре приведены результаты этих исследований.

КОМПЛЕКСЫ ЖЕЛЕЗА(II) С 1,2,4-ТРИАЗОЛАМИ И КЛОЗО-БОРАТНЫМИ АНИОНАМИ

Одними из наиболее перспективных классов соединений, обладающих спин-кроссовером и термохромизмом, являются моно- и гетеролигандные комплексы железа(II) с 1,2,4-триазолом (**Htrz**) и его 4R-замещенными производными (**Rtrz**), которые можно отнести к лигандам сильного поля. Для 1,2,4-триазола в растворе возможны две ($1H$ и $4H$) таутомерные формы. По рентгеноструктурным данным [48], в твердом состоянии 1,2,4-триазол существует в виде $1H$ -формы, в растворах присутствуют обе формы, а при образовании координационного соединения происходит стабилизация $4H$ -формы. В комплексах металлов первого переходного ряда с данными лигандами реализуется бидентатно-мостиковая координация атомами N(1) и N(2), что приводит к образованию би-, три и полиядерных соединений (рис. 1).

В олиго- и полиядерных комплексах железа(II) наблюдаются сильные кооперативные взаимодействия между атомами металла, что обуславливает появление резких СКО с гистерезисом на кривых зависимости эффективного магнитного момента от температуры [49]. СКО сопровождается термо-

хромизмом (отчетливо регистрируемым изменением цвета: розовый \leftrightarrow белый). Для дегидратированных комплексов с 1,2,4-триазолом значения $T_c \uparrow$ в зависимости от аниона изменяются в пределах 246–397 К, а для комплексов с 4-амино-1,2,4-триазолом – в пределах 190–355 К. Анализ характеристик СКО для комплексов железа(II) с Htrz и NH_2trz показывает, что они существенно зависят от состава соединения, который оказывает заметное влияние не только на значение T_c , но и на ширину петли гистерезиса. В комплексах с NH_2trz переход менее резкий, чем с незамещенным Htrz, а при низких температурах, как правило, наблюдается более высокий остаточный магнитный момент. Анализ зависимости $T_c \uparrow$ (К) в соединениях состава FeL_3A_2 от заместителя в четвертом положении 1,2,4-триазола показывает, что не существует прямой зависимости величины $T_c \uparrow$ от длины заместителя в четвертом положении 1,2,4-триазола, но есть тенденция к ее увеличению с уменьшением длины заместителя. Анализ величин $T_c \uparrow$ для представительных рядов комплексов FeL_3A_n , содержащих один лиганд и различные анионы, показывает, что определенной зависимости $T_c \uparrow$ от радиуса аниона для всех комплексов не существует. По-видимому, это связано не только с существенным различием размеров комплексного катиона и аниона, но и способностью аниона к образованию водородных связей с молекулами лиганда и кристаллизационного растворителя или $\pi-\pi$ -стекингом, а также с энергией кристаллической решетки [50].

В работе [51] получены соединения декагидро-клоzo-декаборатов железа(II) состава $[\text{Fe}(\text{Htrz})_3][\text{B}_{10}\text{H}_{10}] \cdot \text{H}_2\text{O}$ и $[\text{Fe}(\text{NH}_2\text{trz})_3][\text{B}_{10}\text{H}_{10}] \cdot \text{H}_2\text{O}$ путем взаимодействия существенного избытка лиганда и соли $\text{K}_2[\text{B}_{10}\text{H}_{10}]$ с сульфатом железа(II) в водном растворе. Магнетохимическое исследование показало, что только первое из них обладает СКО с $T_c \uparrow = 246$ К, $T_c \downarrow = 233$ К (рис. 2), второе остается высокоспиновым (с проявлением антиферромагнитного упорядочения при низких температурах) (рис. 3).

На присутствие воды в составе соединений указывают данные ИК-спектроскопии (область 3400–3600 cm^{-1}) и элементного анализа. Количество молекул кристаллизационной воды найдено по данным термогравиметрии. В электронных спектрах высокоспиновых комплексов при комнатной температуре проявляется по одной полосе в области 870–900 нм, которую можно отнести к $d-d$ -переходу $^5\text{T}_2 \rightarrow ^5\text{E}$ в слабом искаженно-октаэдрическом поле лигандов, узел FeN_6 .

В работе [52] методом вакуумной адиабатической калориметрии проведено исследование изобарной теплоемкости комплекса $[\text{Fe}(\text{Htrz})_3][\text{B}_{10}\text{H}_{10}] \cdot \text{H}_2\text{O}$ при нагревании в интервале температур 80–350 К. Аномалия теплоемкости фиксируется при $T_{\text{tr}} =$

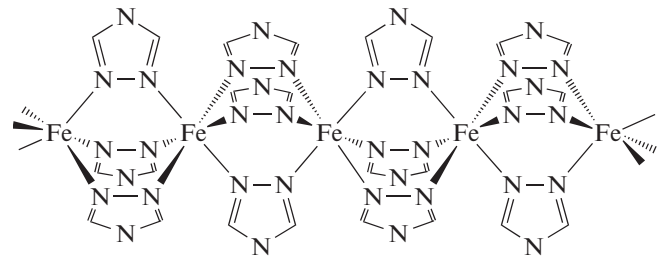


Рис. 1. Структура полиядерного комплексного катиона $[\text{Fe}(\text{Rtrz})_3]^{2+}$.

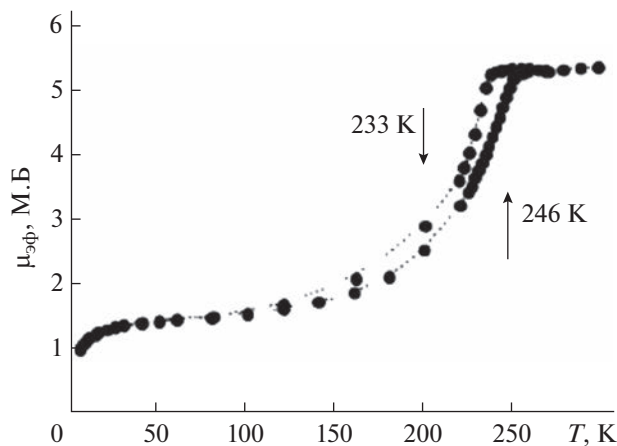


Рис. 2. Зависимость $\mu_{\text{эфф}}(T)$ для комплекса $[\text{Fe}(\text{Htrz})_3][\text{B}_{10}\text{H}_{10}] \cdot \text{H}_2\text{O}$.

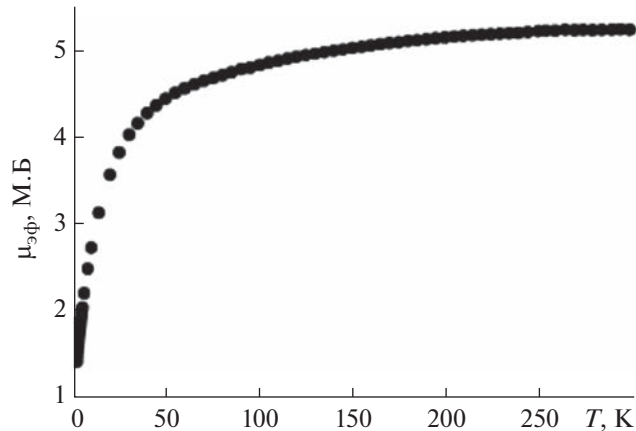


Рис. 3. Зависимость $\mu_{\text{эфф}}(T)$ для комплекса $[\text{Fe}(\text{NH}_2\text{trz})_3][\text{B}_{10}\text{H}_{10}] \cdot \text{H}_2\text{O}$.

= 234.5 К, форма кривой $C_p(T)$ характерна для фазового перехода первого рода (рис. 4), $\Delta_{\text{tr}}H = 10.1 \pm 0.2$ кДж/моль, $\Delta_{\text{tr}}S = 43.0 \pm 0.8$ Дж/(моль · К).

Соединения додекагидро-клоzo-додекаборатов и декахлор-клоzo-декаборатов железа(II) соста-

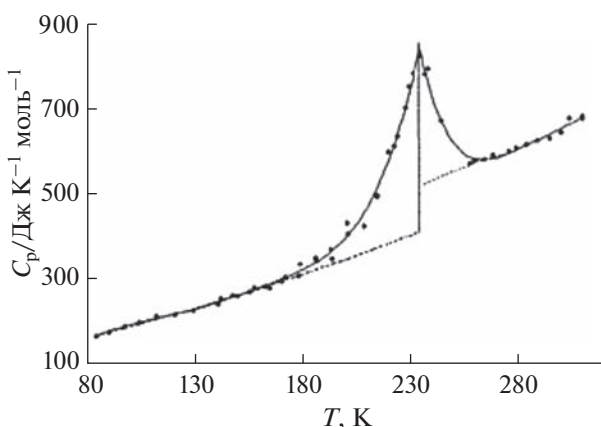


Рис. 4. Зависимость молярной теплоемкости комплекса $[\text{Fe}(\text{Htrz})_3][\text{B}_{10}\text{H}_{10}] \cdot \text{H}_2\text{O}$ от температуры в изобарных условиях.

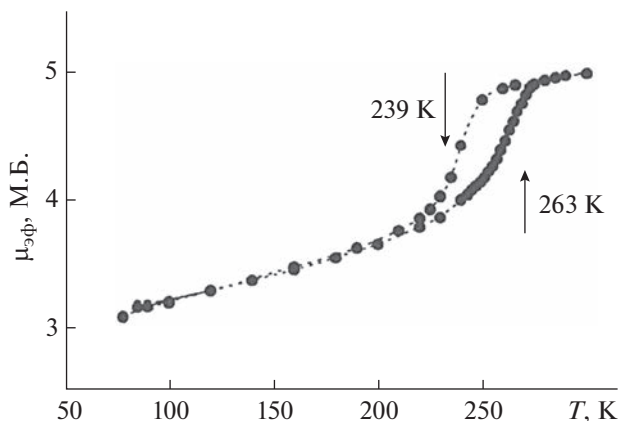


Рис. 5. Зависимость $\mu_{\text{эфф}}(T)$ для комплекса $[\text{Fe}(\text{Htrz})_3][\text{B}_{12}\text{H}_{12}]$.

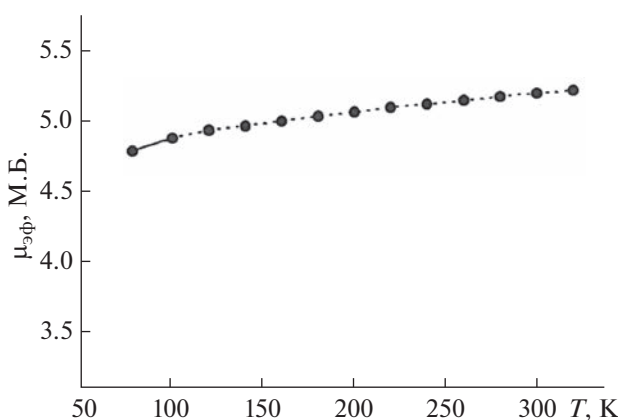


Рис. 6. Зависимость $\mu_{\text{эфф}}(T)$ для комплекса $[\text{Fe}(\text{NH}_2\text{trz})_3][\text{B}_{12}\text{H}_{12}]$.

ва $[\text{Fe}(\text{Htrz})_3][\text{B}_{12}\text{H}_{12}]$, $[\text{Fe}(\text{NH}_2\text{trz})_3][\text{B}_{12}\text{H}_{12}] \cdot 5\text{H}_2\text{O}$, $[\text{Fe}(\text{Htrz})_3][\text{B}_{10}\text{Cl}_{10}]$ и $[\text{Fe}(\text{NH}_2\text{trz})_3][\text{B}_{10}\text{Cl}_{10}] \cdot 2\text{H}_2\text{O}$ также получены при применении существенного избытка лиганда ($L : \text{Fe} = 6-12$) [53, 54]. Первый из них обладает СКО с $T_c \uparrow = 263 \text{ K}$, $T_c \downarrow = 239 \text{ K}$ с достаточно заметным остаточным парамагнетизмом при 78 K (рис. 5). Остальные полученные комплексы не обладают СКО, поэтому имеют белый цвет во всем исследованном интервале температур (рис. 6). Для $[\text{Fe}(\text{Htrz})_3][\text{B}_{10}\text{Cl}_{10}]$ и $[\text{Fe}(\text{NH}_2\text{trz})_3][\text{B}_{10}\text{Cl}_{10}]$ при охлаждении до 5 K наблюдаются антиферромагнитные обменные взаимодействия между парамагнитными ионами железа(II), $\mu_{\text{эфф}}$ понижается до 2.6 М.Б.

Поскольку монокристаллы комплексов не были получены, для вывода о способах координации лигандов наиболее информативным оказался анализ положения полос поглощения в области 1550–1510 cm^{-1} . Так, полосы валентно-деформационных колебаний триазольных циклов Htrz наблюдаются при 1540–1530 cm^{-1} , а в ИК-спектрах комплексов они смешены на 10–15 cm^{-1} по сравнению с положением в спектре лиганда в низкочастотную область. Полосы валентно-деформационных колебаний триазольных циклов NH₂trz наблюдаются при 1530–1520 cm^{-1} , в спектрах комплексов они смешены на 10–15 cm^{-1} в область высоких частот. Такое смещение и изменение интенсивности полос поглощения свидетельствуют о координации атомов азота гетероциклов к металлу [55].

В области 600–700 cm^{-1} спектр Htrz содержит две полосы торсионных колебаний кольца – τ_1 при 680 cm^{-1} и τ_2 при 654 cm^{-1} , в спектре NH₂trz присутствует одна полоса при 654 cm^{-1} (τ_2). В спектрах полученных комплексов железа(II) с Htrz наблюдается одна полоса ~630 cm^{-1} (τ_2), с NH₂trz – полоса ~620 cm^{-1} (τ_2), что указывает на бидентатно-мостиковую координацию Htrz или NH₂trz атомами N(1), N(2) цикла (симметрия C_{2v}). Вывод о способе координации NH₂trz подтверждает анализ положения полосы экзоциклической связи v(N–NH₂) данного лиганда. Одна полоса в спектрах комплексов железа(II) с NH₂trz претерпевает высокочастотный сдвиг на 15–30 cm^{-1} по сравнению со спектром некоординированного NH₂trz. Такое смещение также указывает на N(1)-, N(2)-координацию NH₂trz [56].

В ИК-спектрах комплексов проявляются также полосы поглощения анионов, свидетельствующие о внешнесферном их расположении. Полосы колебаний ВН-связей внешнесферного аниона $[\text{B}_{12}\text{H}_{12}]^{2-}$ при 2470 (v(BH)) и 1075 cm^{-1} ($\delta(\text{BBH})$) в спектре комплекса $[\text{Fe}(\text{NH}_2\text{trz})_3][\text{B}_{12}\text{H}_{12}] \cdot 5\text{H}_2\text{O}$ смешаются в низкочастотную область по сравнению с таковыми в спектре исходной соли, что

указывает на взаимодействия $\text{B}-\text{H}^{\delta+}\dots-\delta\text{HO}-\text{H}$ -связей. Кроме этого, низкочастотные спектры высокоспиновых комплексов содержат полосы $\nu(\text{Fe}_{\text{BC}}-\text{N})$ в области $240-260 \text{ см}^{-1}$. А в спектрах диффузного отражения этих комплексов при комнатной температуре проявляется по одной полосе в области $850-900 \text{ нм}$, которую можно отнести к $d-d$ -переходу ${}^5\text{T}_2 \rightarrow {}^5\text{E}$ в слабом искаженно-октаэдрическом поле лигандов.

КОМПЛЕКСЫ ЖЕЛЕЗА(II) С ТРИС(ПИРАЗОЛ-1-ИЛ)МЕТАНАМИ И БОРСОДЕРЖАЩИМИ АНИОНАМИ

Tris(пиразол-1-ил)метан (HC(pz)_3) и его производные являются классом лигандов, перспективным для синтеза комплексов, обладающих СКО. Наличие способных координироваться к металлу атомов N(2) в трех пиразольных циклах обуславливает при координации двух молекул лиганда получение комплекса октаэдрического строения с координационным узлом FeN_6 . В работах [57, 58] было показано, что данные лиганды координируются к железу(II) преимущественно по тридентатно-циклическому типу (симметрия C_3) (рис. 7). Вместе с тем могут реализоваться бидентатно-циклическая и бидентатно-мостиковая координации HC(pz)_3 [59].

Комpleксы железа(II) с трис(пиразол-1-ил)метанами и клозо-боратными анионами

Получение и исследование магнитно-активных комплексов Fe(II) с HC(pz)_3 , содержащих двухзарядные клозо-бораты $[\text{B}_{10}\text{Cl}_{10}]^{2-}$, $[\text{B}_{10}\text{H}_{10}]^{2-}$, $[\text{B}_{12}\text{H}_{12}]^{2-}$, является важной задачей [60, 61].

Нами разработаны методики синтеза соединений железа(II) состава $[\text{Fe}\{\text{HC(pz)}_3\}_2][\text{B}_{10}\text{Cl}_{10}]$, $[\text{Fe}\{\text{HC(pz)}_3\}_2][\text{B}_{10}\text{H}_{10}]$ и $[\text{Fe}\{\text{HC(pz)}_3\}_2][\text{B}_{12}\text{H}_{12}] \cdot 2\text{H}_2\text{O}$ [54]. Комплексные катионы получали путем взаимодействия водного раствора нитрата железа(II) с этианольным раствором лиганда и избытком соли соответствующего кластерного аниона при соотношении $\text{Fe} : \text{L} : \text{A} = 1 : 2 : 3$. Соединения изучены методами статической магнитной восприимчивости (78–500 K), электронной, ИК- и EXAFS-спектроскопии.

В ИК-спектрах комплексов кроме полос поглощения, свидетельствующих о координации атомов азота азольных циклов к металлу, наблюдаются полосы колебаний внешнесферного $[\text{B}_{10}\text{Cl}_{10}]^{2-}$, которые в спектре комплекса не смещаются, $\nu(\text{B}-\text{Cl}) = 1073 \text{ см}^{-1}$. Полосы колебаний связей $\text{B}-\text{H}$ внешнесферных анионов $[\text{B}_{10}\text{H}_{10}]^{2-}$ и $[\text{B}_{12}\text{H}_{12}]^{2-}$ при $2470 (\nu(\text{BH}))$ и 1075 см^{-1} ($\delta(\text{BBH})$) смещаются в низкочастотную область по сравнению с таковыми в спектрах исходных солей. Также наблюда-

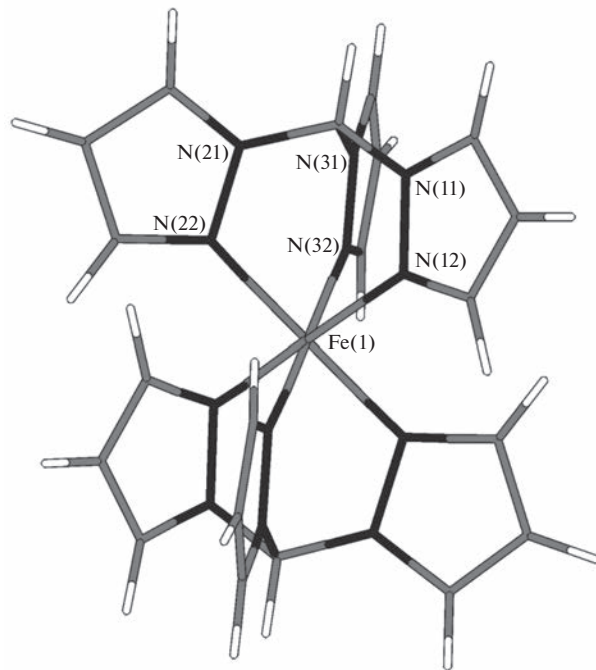


Рис. 7. Строение комплексного катиона $[\text{Fe}\{\text{HC(pz)}_3\}_2]^{2+}$.

ется значительное смещение полосы $\delta(\text{BBH})$ при 1075 см^{-1} в комплексе $[\text{Fe}\{\text{HC(pz)}_3\}_2][\text{B}_{12}\text{H}_{12}] \cdot 2\text{H}_2\text{O}$ в низкочастотную область. Это, по-видимому, обусловлено взаимодействием $\text{B}-\text{H}\dots\text{H}-\text{C(pz)}_3$. В области валентных колебаний металл-лиганд ($348-392 \text{ см}^{-1}$) спектры комплексов клозо-боратов содержат сложные полосы, которые можно отнести к валентным колебаниям $\nu(\text{Fe}_{\text{HC}}-\text{N})$.

В СДО спектрах комплексов клозо-боратов наблюдается типичная широкая полоса поглощения в области $450-550 \text{ нм}$ с максимумом при 520 нм ($\nu = 19230 \text{ см}^{-1}$), которую можно отнести к $d-d$ -переходу ${}^1\text{A}_1 \rightarrow {}^1\text{T}_1$ в сильном искаженно-октаэдрическом поле лигандов, хромофор FeN_6 [62, 63].

Магнетохимическое исследование показало, что комплексы клозо-боратов при комнатной температуре являются низкоспиновыми и обладают высокотемпературным СКО ${}^1\text{A}_1 \leftrightarrow {}^5\text{T}_2$. Соединение $[\text{Fe}\{\text{HC(pz)}_3\}_2][\text{B}_{10}\text{Cl}_{10}]$ разлагается при нагревании выше 440 K, вследствие чего значение T_c определить не удалось (рис. 8). Комплексы $[\text{Fe}\{\text{HC(pz)}_3\}_2][\text{B}_{10}\text{H}_{10}]$, $[\text{Fe}\{\text{HC(pz)}_3\}_2][\text{B}_{12}\text{H}_{12}] \cdot 2\text{H}_2\text{O}$ обладают достаточно полным обратимым спин-кроссовером ${}^1\text{A}_1 \leftrightarrow {}^5\text{T}_2$ и термохромизмом (изменение цвета – розовый \leftrightarrow белый). Для $[\text{Fe}\{\text{HC(pz)}_3\}_2][\text{B}_{10}\text{H}_{10}]$ T_c составляет 375 K. Для комплекса $[\text{Fe}\{\text{HC(pz)}_3\}_2][\text{B}_{12}\text{H}_{12}]$ измерения были проведены после дегидратации. На кривой зависимости $\mu_{\text{eff}}(T)$ наблюдали резкий и полный вы-

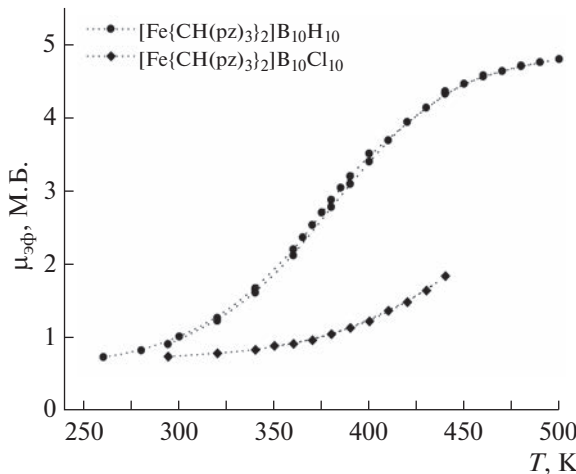


Рис. 8. Зависимость $\mu_{\text{эфф}}(T)$ для $[\text{Fe}\{\text{HC}(\text{pz})_3\}_2]\text{B}_{10}\text{Cl}_{10}$ и $[\text{Fe}\{\text{HC}(\text{pz})_3\}_2]\text{B}_{10}\text{H}_{10}$.

сокотемпературный СКО без гистерезиса (рис. 9), значение $T_c = 405$ К.

Для комплексов *клоzo*-боратов методом EXAFS-спектроскопии было проведено исследование пространственной структуры в высокоспиновом состоянии комплексов с различными внешнесферными анионами. Так, для комплексов $[\text{Fe}\{\text{HC}(\text{pz})_3\}_2]\text{B}_{10}\text{Cl}_{10}$, $[\text{Fe}\{\text{HC}(\text{pz})_3\}_2]\text{B}_{10}\text{H}_{10}$, $[\text{Fe}\{\text{HC}(\text{pz})_3\}_2]\text{B}_{12}\text{H}_{12} \cdot 2\text{H}_2\text{O}$ межатомные расстояния Fe–N(1) в низкоспиновом состоянии составляют 1.96 Å, в высокоспиновом – 2.09, 2.13, 2.15 Å соответственно.

С целью расширения класса комплексов Fe(II), содержащих двухзарядные кластерные анионы бора, и для приближения T_c к комнатным температурам были разработаны методики синтеза координационных соединений железа(II) с *трис*(3,5-диметилпиразол-1-ил)метаном {HC(3,5-dmpz)₃} и *клоzo*-борат(2-)ионами состава $[\text{Fe}\{\text{HC}(3,5-\text{dmpz})_3\}_2]\text{B}_{10}\text{H}_{10} \cdot \text{H}_2\text{O}$ и $[\text{Fe}\{\text{HC}(3,5-\text{dmpz})_3\}_2]\text{B}_{12}\text{H}_{12} \cdot \text{H}_2\text{O}$ [64]. Комплексные катионы соединений получали при соотношении Fe : HC(3,5-dmpz)₃ = 1 : 4. Соединения изучены методами статической магнитной восприимчивости (2–325 K), электронной (спектры диффузного отражения, СДО) и ИК-спектроскопии.

Полосы колебаний BN-связей анионов при 2470 cm⁻¹ в спектрах комплексов практически не смещаются по сравнению с таковыми в спектрах исходных солей, что указывает на внешнесферное положение данных анионов. Смещение полосы δ(BNH) при 1075 cm⁻¹ в комплексах в низкочастотную область на 5 cm⁻¹ обусловлено очень слабым B–H...H–OH-взаимодействием.

В СДО комплексов наблюдается по одной широкой полосе с максимумами при 802 (первый) и 825 nm (второй). Эти полосы можно отнести к пе-

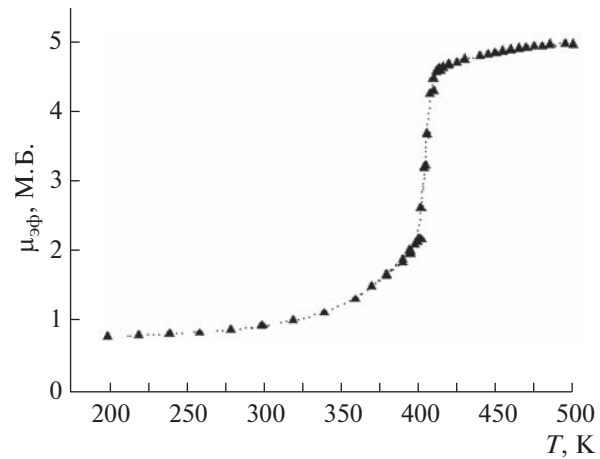


Рис. 9. Зависимость $\mu_{\text{эфф}}(T)$ для $[\text{Fe}\{\text{HC}(\text{pz})_3\}_2]\text{B}_{12}\text{H}_{12}$.

реходу $^5\text{T}_2 \rightarrow ^5\text{E}$ в слабом искаженно-октаэдрическом поле лигандов. Положение этих полос типично для спектров высокоспиновых октаэдрических комплексов железа(II) [65]. Значения параметров расщепления указывают на то, что в комплексах теоретически возможен СКО при охлаждении, так как $\Delta_{\text{BC}} \leq 12500 \text{ cm}^{-1}$ [66].

Изучение зависимости $\mu_{\text{эфф}}(T)$ показало, что в $[\text{Fe}\{\text{HC}(3,5-\text{dmpz})_3\}_2]\text{B}_{10}\text{H}_{10} \cdot \text{H}_2\text{O}$ проявляется неполный низкотемпературный спин-кроссовер (рис. 10). При 300 K значение $\mu_{\text{эфф}} = 5.06 \text{ M.B.}$ и при понижении температуры понижается, выходя на небольшое плато ~3.5 M.B. в интервале температуры 80–30 K, после чего уменьшается до 2.89 M.B. при 5 K. Высокотемпературное значение $\mu_{\text{эфф}}$ хорошо согласуется с теоретическим чисто спиновым значением 4.90 M.B. для Fe(II) в высокоспиновом состоянии ($S = 2$) при g -факторе = 2. Резкое уменьшение $\mu_{\text{эфф}}$ в температурном интервале 300–80 K обусловлено СКО. Значение $\mu_{\text{эфф}}$ на плато соответствует переходу лишь половины ионов Fe(II) из высокоспинового в низкоспиновое состояние. В $[\text{Fe}\{\text{HC}(3,5-\text{dmpz})_3\}_2]\text{B}_{12}\text{H}_{12} \cdot \text{H}_2\text{O}$ при температурах <90 K между неспаренными электронами железа(II) проявляются обменные взаимодействия антиферромагнитного характера (рис. 11).

Комpleksy железа(II) с *трис*(пиразол-1-ил)метаном и карборанами

Следующим этапом был синтез новых соединений железа(II), содержащих в своем составе другие кластерные анионы, в частности, карбораны. 7,8-Дикарба-нido-ундекаборат-ионы (как и *клоzo*-бораты) также являются перспективными соединениями для БНЗТ рака, поэтому синтез новых соединений, содержащих функционализи-

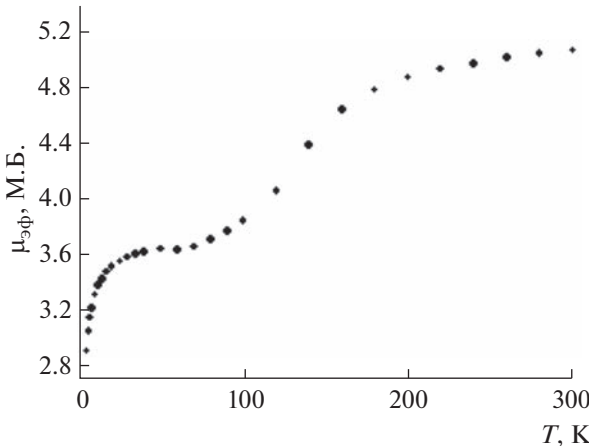


Рис. 10. Зависимость $\mu_{\text{эфф}}(T)$ для $[\text{Fe}\{\text{HC}(3,5\text{-dmpz})_3\}_2][\text{B}_{10}\text{H}_{10}] \cdot \text{H}_2\text{O}$.

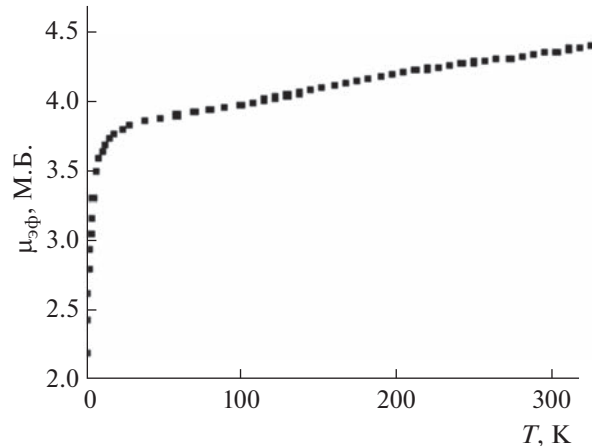


Рис. 11. Зависимость $\mu_{\text{эфф}}(T)$ для $[\text{Fe}\{\text{HC}(3,5\text{-dmpz})_3\}_2][\text{B}_{12}\text{H}_{12}] \cdot \text{H}_2\text{O}$.

рованные карборановые кластеры, представляется важной задачей. Нами были разработаны методики синтеза координационных соединений 1,5,6,10-тетра(R)-7,8-дикарба-нido-ундекаборатов(-1) железа(II) с *tris*(пиразол-1-ил)метаном ($\text{HC}(\text{pz})_3$) состава $[\text{Fe}\{\text{HC}(\text{pz})_3\}_2]\text{A}_2 \cdot n\text{H}_2\text{O}$ (где $\text{A} = [\text{7,8-C}_2\text{B}_9\text{H}_{12}]^-, [\text{1,5,6,10-Br}_4\text{-7,8-C}_2\text{B}_9\text{H}_8]^-, [\text{1,5,6,10-I}_4\text{-7,8-C}_2\text{B}_9\text{H}_8]^-, n = 0-2$) [67]. Соединения изучены методами статической магнитной восприимчивости в диапазоне температур 160–500 К, электронной (спектры диффузного отражения, СДО) и ИК-спектроскопии.

Координационные соединения карборанов получали путем обменной реакции между водно-спиртовым раствором $[\text{Fe}\{\text{HC}(\text{pz})_3\}_2]\text{SO}_4$ ($c \sim 0.005$ моль/л) и водным раствором калиевой соли соответствующего карборана при соотношении комплекс : соль = 1 : 2 с применением аскорбиновой кислоты. Синтезированные соединения обладают термохромизмом: при нагревании до 150°С на воздухе цвет розовых комплексов становится белым, при охлаждении розовый цвет возвращается.

Сравнивая ИК-спектры комплексов карборанов и ранее синтезированных комплексов состава $[\text{Fe}\{\text{HC}(\text{pz})_3\}_2]\text{A}_2$, можно сделать вывод, что и в данных соединениях $\text{HC}(\text{pz})_3$ является триденатно-циклическим лигандром, который координируется к ионам железа(II) тремя атомами азота N(2) пиразольных циклов.

В ИК-спектре исходной соли $[\text{N}(\text{CH}_3)_4][\text{7,8-C}_2\text{B}_9\text{H}_{12}]$ можно выделить полосу валентных колебаний карборана $\nu(\text{CH})$ при 3030 cm^{-1} [68, 69]. В спектрах $[\text{NH}(\text{CH}_3)_3][\text{1,5,6,10-Br}_4\text{-7,8-C}_2\text{B}_9\text{H}_8]$ и $[\text{NH}(\text{CH}_3)_3][\text{1,5,6,10-I}_4\text{-7,8-C}_2\text{B}_9\text{H}_8]$ эти полосы находятся при 3047 и 3041 cm^{-1} соответственно. Указанные полосы $\nu(\text{CH})$ в спектрах комплексов смешаются в низкочастотную область (2983 cm^{-1}

для Br_4 -карборана) и расщепляются (2854 и 2977 cm^{-1} для карборана, 2860 и 2971 cm^{-1} для I_4 -карборана) по сравнению со спектрами исходных солей, что указывает на значительную деформацию аниона в составе комплекса. Полосы колебаний B–H-связей внешнесферных анионов при 2514 – 2543 cm^{-1} ($\nu(\text{BH})$), 2138 cm^{-1} ($\nu(\text{B–HB})$) и 1019 – 1194 cm^{-1} ($\delta(\text{BBH})$) в спектрах комплексов смещаются и расщепляются по сравнению с таковыми в спектрах исходных солей. Это указывает на образование $\text{B–H}^{\delta+} \dots {}^{-\delta}\text{HO–H}$ -связей, а также на вторичные взаимодействия $\text{B–Hal...H}(\text{HC}(\text{pz})_3)$. Такой вывод был сделан нами и для *клозо*-боратных комплексов железа(II) с $\text{HC}(\text{pz})_3$ [54].

Анализ ИК-спектров комплексов карборанов в области валентных колебаний металл–лиганд (200 – 400 cm^{-1}) и сравнение с литературными данными показали, что при комнатной температуре в комплексе содержится железо(II) как в низкоспиновом (Fe_{HC}), так и в высокоспиновом (Fe_{BC}) состояниях. Сложные полосы в области 348 – 382 cm^{-1} можно отнести к валентным колебаниям $\nu(\text{Fe}_{\text{HC}}-\text{N})$, а полосы при 265 – 298 cm^{-1} – к $\nu(\text{Fe}_{\text{BC}}-\text{N})$.

Используя данные СДО при комнатной температуре, оценивали изменение силы поля лиганда *tris*(пиразол-1-ил)метана в комплексах карборанов – величины Δ_{HC} составили 20250 , 21320 , 20880 cm^{-1} соответственно аниону. Видно, что природа и размер аниона существенно влияют на силу поля лиганда. Так, введение в состав аниона заместителя (Br , I), повышающего электронную плотность по системе сопряженных трехцентровых двухэлектронных связей, привело к увеличению силы поля *tris*(пиразол-1-ил)метана. Условие: $19000 \text{ cm}^{-1} \leq \Delta_{\text{HC}} \leq 22000 \text{ cm}^{-1}$, обуславливающее появление СКО, выполняется.

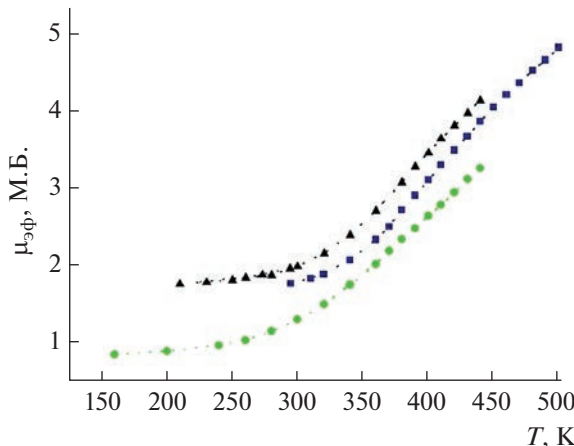


Рис. 12. Кривые зависимости $\mu_{\text{эфф}}(T)$: ▲ — $[\text{Fe}\{\text{HC}(\text{pz})_3\}_2][1,5,6,10-\text{Br}_4-7,8-\text{C}_2\text{B}_9\text{H}_8]_2$; ■ — $[\text{Fe}\{\text{HC}(\text{pz})_3\}_2][1,5,6,10-\text{I}_4-7,8-\text{C}_2\text{B}_9\text{H}_8]_2$; ● — $[\text{Fe}\{\text{HC}(\text{pz})_3\}_2][7,8-\text{C}_2\text{B}_9\text{H}_8]_2$.

Магнетохимическое исследование показало, что эти соединения обладают высокотемпературным СКО ${}^1\text{A}_1 \leftrightarrow {}^5\text{T}_2$ (рис. 12). Для корректного сравнения магнетохимических данных комплексы изучали после дегидратации. Значения T_c определяли как точку перегиба кривой $\mu_{\text{эфф}}(T)$ по максимуму первой производной $d\mu_{\text{эфф}}/dT$. Нам не удалось выйти на плато, соответствующее ВС-форме комплексов, вследствие высоких температур СКО.

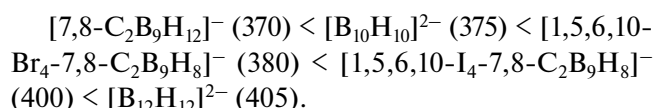
Сравнение данных для полученных комплексов показывает, что с увеличением размера кластерного аниона наблюдается увеличение T_c и термической стабильности соединения. При этом существенных изменений в характере СКО не наблюдается. Для соединений галоген-замещенных анионов на кривых зависимости $\mu_{\text{эфф}}(T)$ при 200 К наблюдается значительный остаточный paramagnetism. Мы оценили вклад температурно-независимого paramagnetизма, используя формулы: $\mu_{\text{эфф}}(\text{THP}) = (8\chi_{\text{THP}}T)^{1/2}$, $\chi_{\text{THP}} = 4/\Delta_{\text{HC}}$ [70]. При $T = 200$ К значение $\mu_{\text{эфф}}(\text{THP})$ не должно превышать 0.6 М.Б. Примем для расчета, что для изученного класса соединений $\mu_{\text{эфф}}(\text{BC}) \sim 5.1$ М.Б. Тогда величины доли ВС-формы комплексов, рассчитанные по формуле $\alpha_{\text{BC}} = (\mu_{\text{эфф}}^2 - \mu_{\text{эфф}}^2(\text{THP})) / \mu_{\text{эфф}}^2(\text{BC}) \cdot 100\%$, составляют $\sim 10\%$ при 200 К. Следовательно, каждый десятый из атомов железа(II) не переходит в НС-состояние. Возможной причиной большой величины α_{BC} может быть существование структурно-неэквивалентных форм комплексов, одна из которых не принимает участие в процессе СКО. У комплекса с незамещенным анионом для остаточной ВС-формы, рассчитанная аналогичным образом, составляет $< 0.5\%$.

Мессбауэровские спектры полученных карбоновых комплексов железа(II) с *tris*(пиразол-

1-ил)метаном представляют собой слабо разрешенные линии с параметрами (химическим сдвигом $\delta = 0.39, 0.37, 0.37$ мм/с и квадрупольным расщеплением $\epsilon = 0.28, 0.25, 0.38$ мм/с соответственно). Значения δ находятся в области сдвигов, характерных для низкоспиновых комплексов Fe(II), при этом они являются более низкими, чем для изученных нами ранее комплексов Fe(II) с 1,2,4-триазолами ($0.416-0.427$ мм/с) [71], что свидетельствует о том, что химические связи Fe—N в новых комплексах являются более ковалентными. Малые квадрупольные расщепления свидетельствуют о слабом искажении октаэдрического окружения атомов железа в них (как и в комплексах Fe(II) с 1,2,4-триазолами). При этом более высокое значение ϵ в иодированном аналоге указывает на то, что полидэрг FeN₆ в данном комплексе искажен несколько сильнее двух других. Причина может быть связана с тем, что анион, имеющий большие размеры, становится еще более объемным при вхождении в него атомов иода, что создает стерические напряжения в его кристаллической решетке.

Измерения спектров Мессбауэра при 78 К показали, что вероятность эффекта Мессбауэра (f) в них при повышении температуры до 295 К понижается примерно в три раза, что заметно сильнее, чем для комплексов Fe(II) с 1,2,4-триазолами, для которых f понижается не более, чем в 1.7 раза. Этот факт можно связать с островной структурой комплексов железа(II) с *tris*(пиразол-1-ил)метаном и более слабым катион-анионным взаимодействием по сравнению с комплексами Fe(II) с 1,2,4-триазолами, имеющими полимерную цепочечную структуру. Следствием этого является ослабление кооперативных взаимодействий в кристаллических решетках, что уменьшает резкость СКО ${}^1\text{A}_1 \leftrightarrow {}^5\text{T}_2$.

Учитывая ранее полученные данные для комплексов с клозо-боратами состава $[\text{FeL}_2]\text{A}$, можно построить ряд зависимости T_c (К) от внешнесферного кластерного борсодержащего аниона:



Приведенный ряд показывает, что с увеличением размеров как клозо-бората, так и карборана (за счет введения заместителя) наблюдается увеличение T_c и термической стабильности соединения, при этом существенных изменений в характере СКО не происходит. Этот вывод не является тривиальным, так как ранее на примере комплексов Fe(II) с 1,2,4-триазолами состава FeL_3A_2 , где $\text{A} = \text{Cl}^-, \text{Br}^-, \text{I}^-$, нами было показано, что в ряду анионов одной природы с увеличением размера внешнесферного аниона T_c уменьшается [72].

КОМПЛЕКСЫ ЖЕЛЕЗА(II) С 2,6-БИС(ИМИДАЗОЛ-2-ИЛ)ПИРИДИНАМИ И КЛОЗО-БОРАТНЫМИ АНИОНАМИ

2,6-Бис(1Н-имида́зол-2-и́л)пиридины являются перспективным классом органических соединений для синтеза комплексов с СКО. Данные лиганды, так же как описанные выше *tris*(пиразол-1-ил)метаны, координируются к иону железа(II) по триентатно-циклическому типу с образованием координационного узла MN_6 . Для синтеза и исследования нами были выбраны 2,6-

бис(1Н-имида́зол-2-и́л)пиридин (L^1), 2,6-бис(4,5-диметил-1Н-имида́зол-2-и́л)пиридин (L^2) и 2,6-бис(бензимида́зол-2-и́л)пиридин (L^3) (схема 1). Получены комплексы железа(II) с лигандами этого класса и различными внешнесферными анионами состава $[FeL_i]A_i \cdot nH_2O$ ($L = L^1, L^2, L^3; i = 1, 2; n = 0, 2$). В данном обзоре приводим результаты по синтезу и исследованию комплексов Fe(II) с 2,6-бис(1Н-имида́зол-2-и́л)пиридинами и клозо-борат(2-)анионами [45–47].

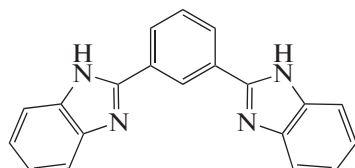
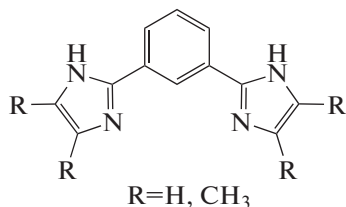


Схема 1.

Комплексы с 2,6-бис(имида́зол-2-и́л)пириди́ном

Синтезированы комплексы железа(II) с 2,6-бис(1Н-имида́зол-2-и́л)пириди́ном (L^1) и клозо-борат(2-)анионами состава $[Fe(L^1)_2][B_{10}H_{10}] \cdot H_2O$ ($1 \cdot H_2O$), $[Fe(L^1)_2][B_{12}H_{12}] \cdot 1.5H_2O$ ($2 \cdot 1.5H_2O$) [47]. Соединения выделены из водно-этанольных растворов при стехиометрическом соотношении $Fe : L^1$. Во избежание окисления железа(II) к растворам добавляли аскорбиновую кислоту в качестве восстановителя и слабо подкисляющего реагента. Синтезы проводили в две стадии. На первой стадии получали соответствующие соли железа(II) путем добавления к раствору $FeSO_4$ полуторакратного избытка соли $K_2[B_{10}H_{10}]$ или $K_2[B_{12}H_{12}]$. На второй стадии к полученному раствору соли прибавляли раствор L^1 в этаноле. Соединения изучены методами элементного анализа (спектроскопия диффузного отражения, СДО) электронной-, ИК-, EXAFS- и мессбауэровской спектрометрии, РФА, статической магнитной восприимчивости. Изучение зависимости $\mu_{\text{эф}}(T)$ в диапазоне температур 78–500 К показало, что полученные комплексы обладают высокотемпературным спин-кроссовером ${}^1A_1 \leftrightarrow {}^5T_2$.

Экспериментальные данные EXAFS-спектроскопии, полученные для комплексов $1 \cdot H_2O$ и $2 \cdot 1.5H_2O$ в НС-состоянии при комнатной температуре, моделировали для всей молекулы в приближении многократного рассеяния без учета атомов водорода и анионов, оказывающих лишь слабое влияние на форму спектра EXAFS из-за их пространственного удаления от центрального иона железа. Структуры комплексов $1 \cdot H_2O$ и $2 \cdot 1.5H_2O$ в НС-состоянии, полученные с помощью моделирования спектров EXAFS, представлены на рис. 13.

Исследование ИК-спектров комплексов $1 \cdot H_2O$ и $2 \cdot 1.5H_2O$ показало, что в высокочастотной области проявляются колебания $\nu(OH)$; в области 3200 – 3050 cm^{-1} находятся валентные колебания NH-групп, а в диапазоне 3100 – 2850 cm^{-1} – колебания $\nu(CH)$ и $\nu(CH_3)$. В интервале 1650 – 1450 cm^{-1} присутствуют полосы валентных и деформационных колебаний колец гетероциклов. В спектрах комплексов в диапазоне колебаний колца наблюдается изменение числа и положения полос имидазола и пиридина по сравнению со спектром L^1 , что свидетельствует о координации атомов азота циклов к ионам металла. Полосы колебаний связей В–Н внешнесферных анионов

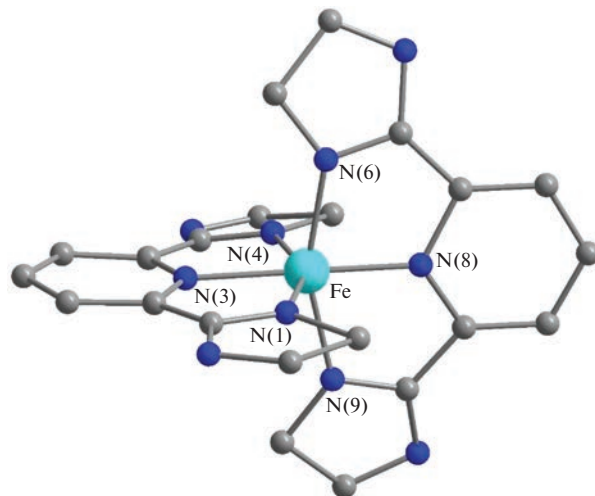


Рис. 13. Строение координационного узла комплексов $1 \cdot H_2O$ и $2 \cdot 1.5H_2O$.

Таблица 1. Параметры спектров диффузного отражения комплексов и значения B , C , Δ_{HC}

| Комплекс | $\lambda(^1\text{A}_1 \rightarrow ^1\text{T}_2)$ | $\lambda(^1\text{A}_1 \rightarrow ^1\text{T}_1)$ | Рассчитанные параметры | | |
|------------------------------|--|--|------------------------|-------|----------------------|
| | | | B | C | Δ_{HC} |
| 1 · H₂O | 475 | 518 | 109.3 | 482.0 | 1.97×10^4 |
| 2 · 1.5H₂O | 465 | 518 | 137.5 | 606.5 | 1.98×10^4 |

[B₁₀H₁₀]²⁻ и [B₁₂H₁₂]²⁻ имеют центры при волновых числах 2470 см⁻¹ ($\nu(\text{BH})$) и 1075 см⁻¹ ($\delta(\text{BBH})$). Эти полосы сдвинуты по отношению к наблюдаемым в спектрах исходных солей, что может быть вызвано образованием связей H₂O^{δ-}...^{δ+}H–B. В дальней области спектров всех комплексов наблюдаются полосы переноса заряда Fe(3d⁶) – лиганд (π) и полосы колебаний M–N. Положение этих полос типично для спектров низкоспиновых октаэдрических комплексов железа(II), имеющих координационный узел FeN₆ [73].

В спектрах диффузного отражения комплексов **1 · H₂O** и **2 · 1.5H₂O** наблюдаются интенсивные полосы переноса заряда металл–лиганд $\nu_1(e_g \rightarrow \pi_L^*)$ в диапазоне длин волн 300–350 нм ($\lambda_{\text{max}} \sim 324$ –326 нм). В интервале 400–600 нм присутствуют полосы, которые можно отнести к d – d -переходам $^1\text{A}_1 \rightarrow ^1\text{T}_2$ и $^1\text{A}_1 \rightarrow ^1\text{T}_1$ в сильном октаэдрическом поле лигандов (табл. 1). В спектрах комплексов отсутствует полоса $^5\text{T}_2 \rightarrow ^5\text{E}$, относящаяся к BC-состоянию Fe(II). Вследствие этого проводили расчет параметра расщепления, основываясь на разности частот $^1\text{A}_1 \rightarrow ^1\text{T}_2$ и $^1\text{A}_1 \rightarrow ^1\text{T}_1$ [65] для низкоспиновых форм комплексов. Величину B рассчитывали по формуле:

$$B = [\nu(^1\text{A}_1 \rightarrow ^1\text{T}_2) - \nu(^1\text{A}_1 \rightarrow ^1\text{T}_1)]/16.$$

Величины C и Δ_{HC} рассчитывали, используя следующие приближения: $\nu_{\text{HC}} = \Delta_{\text{HC}} - C + 86B^2/\Delta_{\text{HC}}$ и $C = 4.41B$ [65, 66, 74]. Полученное значение Δ_{HC} (табл. 1) указывает на то, что 2,6-бис(имидазол-2-ил)пиридин является лигандром сильного поля и подчиняется неравенству: $19\,000 \text{ см}^{-1} \leq \Delta_{\text{HC}} \leq 22\,000 \text{ см}^{-1}$, которое определяет условие проявления спин-кроссовера.

Таблица 2. Параметры спектров Мессбауэра комплексов **1 · H₂O** и **2 · 1.5H₂O**

| Комплекс | δ , мм/с | ϵ , мм/с | Γ , мм/с |
|------------------------------|-----------------|-------------------|-----------------|
| 1 · H₂O | 0.278 (64%) | 0.420 | 0.26 |
| | 0.925 (36%) | 2.224 | 0.80 |
| 2 · 1.5H₂O | 0.282 | 0.465 | 0.25 |

В табл. 2 представлены параметры спектров Мессбауэра комплексов **1 · H₂O** и **2 · 1.5H₂O**. Спектр **2 · 1.5H₂O** представляет собой квадрупольный дублет, параметры которого соответствуют NC-состоянию железа(II). В спектре **1 · H₂O** присутствует также уширенный дублет, связанный с BC-формой комплекса (36%).

Исследование температурной зависимости μ_{eff} комплексов **1 · H₂O** и **2 · 1.5H₂O** показало, что в них наблюдается полный СКО (рис. 14, 15). Значения μ_{eff} , наблюдаемые в BC-состоянии этих соединений, ниже теоретического значения для Fe(II), однако они находятся в диапазоне экспериментальных значений 4.6–5.7 М.Б., наблюдаемом для соединений Fe(II) [75, 76]. Низкоспиновые формы комплексов **1 · H₂O** и **2 · 1.5H₂O** проявляют диамагнетизм с нулевым значением μ_{eff} . В табл. 3 представлены температуры прямого ($T_c \uparrow$) и обратного ($T_c \downarrow$) переходов.

Для исследования влияния кристаллизационной воды была изучена зависимость $\mu_{\text{eff}}(T)$ для комплексов **1** и **2**, полученных в результате дегидратации исходных фаз **1 · H₂O** и **2 · 1.5H₂O** (рис. 16, 17). Следует отметить, что в случае разреженной атмосферы разложение дегидратированных комплексов происходит в более низкой области температур, чем для исходных соединений. Тем не менее СКО наблюдается и в этом случае. Значение $\mu_{\text{eff}} = 4.65$ М.Б., достигнутое в BC-состоянии для **1**, соответствует значению, наблюдаемому для исходного комплекса. В случае комплекса **2** значение μ_{eff} (4.6 М.Б.) увеличивается после дегидратации. Остаточные значения μ_{eff} (~1–1.5 М.Б.) зарегистрированы для обоих комплексов в NC-состоянии. Температура СКО увеличивается после дегидратации, комплекс **2** демонстрирует самые высокие значения температуры СКО, как и в случае исходного соединения. Таким образом, дегидратация комплексов **1 · H₂O** и **2 · 1.5H₂O** приводит к появлению остаточного значения μ_{eff} и повышению температуры СКО.

Комpleksy c 2,6-bis(4,5-dimethyl-1Н-imidazol-2-il)piridinom

Синтезированы координационные соединения железа(II) с новым лигандом 2,6-бис(4,5-диметил-1Н-имидазол-2-ил)пиридином (L^2) и клозо-бо-

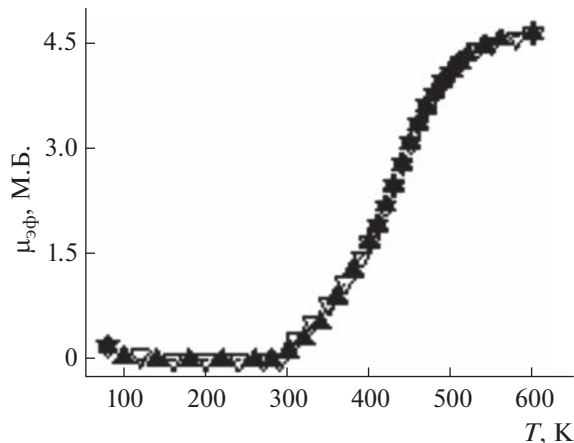


Рис. 14. Зависимость $\mu_{\text{эфф}}(T)$ для $[\text{Fe}(\text{L}^1)_2][\text{B}_{10}\text{H}_{10}] \cdot \text{H}_2\text{O}$ (1 · $1\text{H}_2\text{O}$).

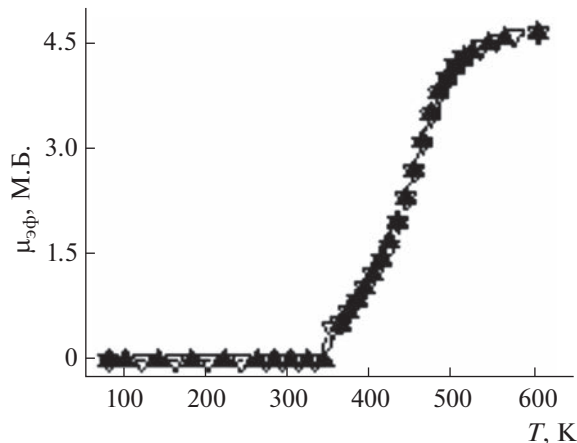


Рис. 15. Зависимость $\mu_{\text{эфф}}(T)$ для $[\text{Fe}(\text{L}^1)_2][\text{B}_{12}\text{H}_{12}] \cdot 1.5\text{H}_2\text{O}$ (2 · $1.5\text{H}_2\text{O}$).

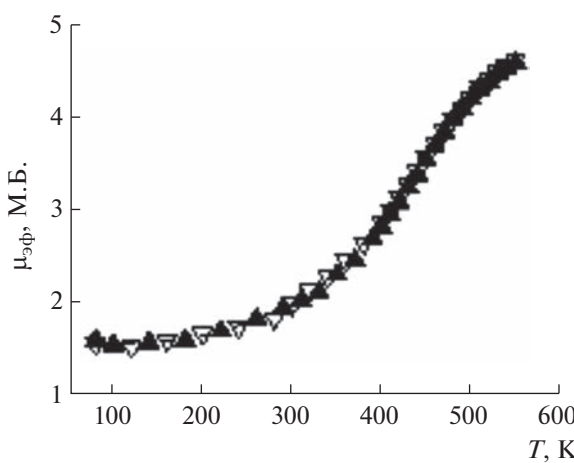


Рис. 16. Зависимость $\mu_{\text{эфф}}(T)$ дегидратированного комплекса 1.

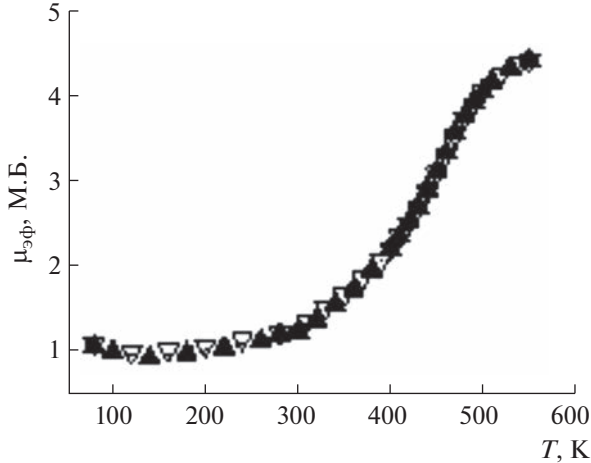


Рис. 17. Зависимость $\mu_{\text{эфф}}(T)$ дегидратированного комплекса 2.

рат(2-)–анионами состава $[\text{Fe}(\text{L}^2)_2][\text{B}_{10}\text{H}_{10}] \cdot 2\text{H}_2\text{O}$ (3 · $2\text{H}_2\text{O}$), $[\text{Fe}(\text{L}^2)_2][\text{B}_{12}\text{H}_{12}] \cdot \text{H}_2\text{O}$ (4 · H_2O) [46]. 2,6-*Bis*(4,5-диметил-1Н-имидацол-2-ил)пиридин получен по методике, приведенной в [77]. Соединения выделены из водно-этанольных растворов при концентрации соли железа(II) ~ 0.1 моль/л и стехиометрическом соотношении $\text{Fe} : \text{L}^2$. В качестве восстановителя и слабо подкисляющего реагента к раствору железа(II) добавляли аскорбиновую кислоту. Синтез проводили в две стадии. На первой стадии получали раствор *клозо*-боратов железа(II) из водного раствора FeSO_4 с использованием полуторакратного избытка солей $\text{K}_2[\text{B}_{10}\text{H}_{10}] \cdot 2\text{H}_2\text{O}$ или $\text{K}_2[\text{B}_{12}\text{H}_{12}]$. На второй стадии к полученным растворам добавляли раствор лиганда в этаноле. Комплексы получены с высоким выходом (>90%).

Выводы о строении координационного узла полученных комплексов сделаны на основании данных EXAFS-спектроскопии (рис. 18, 19) [46] и данных PCA для комплекса меди(II) с L^2 состава $[\text{Cu}(\text{L}^2)_2]\text{SO}_4 \cdot 3\text{H}_2\text{O}$ (рис. 20) [77]. Параметры микроструктуры комплексов (состав и строение

Таблица 3. Температуры прямого ($T_c \uparrow$) и обратного ($T_c \downarrow$) СКО изученных комплексов

| Комплекс | $T_c \uparrow$, К | $T_c \downarrow$, К |
|---|--------------------|----------------------|
| $[\text{Fe}(\text{L}^1)_2][\text{B}_{10}\text{H}_{10}] \cdot \text{H}_2\text{O}$ | 436 | 436 |
| $[\text{Fe}(\text{L}^1)_2][\text{B}_{12}\text{H}_{12}] \cdot 1.5\text{H}_2\text{O}$ | 455 | 455 |
| $[\text{Fe}(\text{L}^1)_2][\text{B}_{10}\text{H}_{10}]$ | 447 | 440 |
| $[\text{Fe}(\text{L}^1)_2][\text{B}_{12}\text{H}_{12}]$ | 458 | 458 |

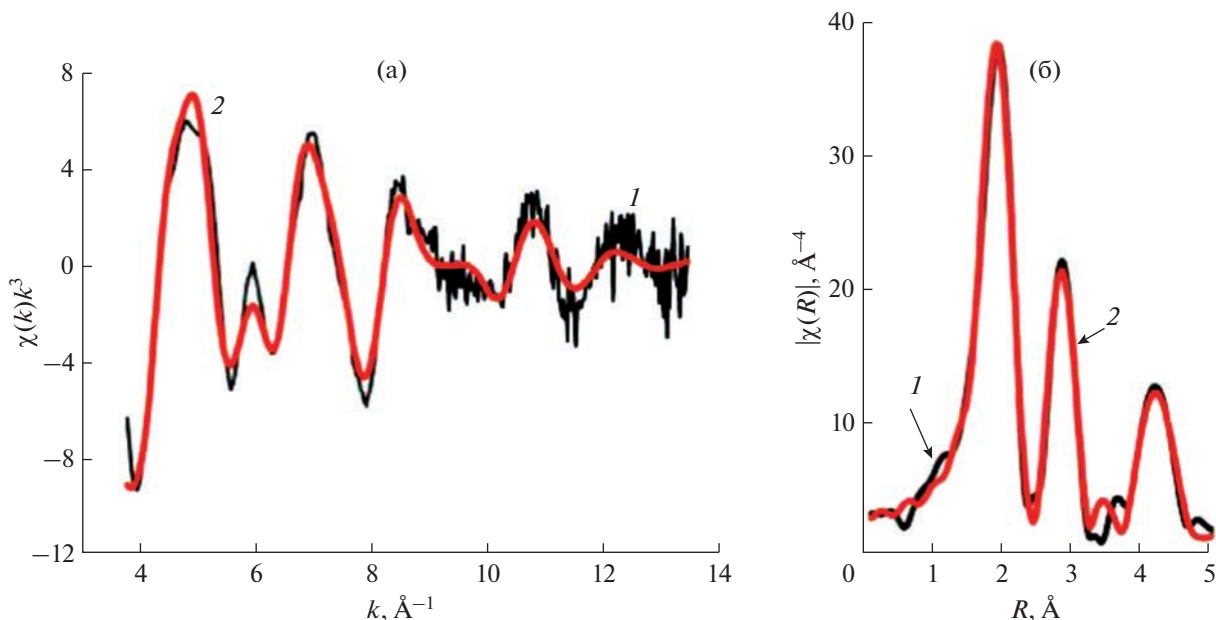


Рис. 18. Сравнение экспериментальных (черная кривая) и модельных (красная кривая) спектров EXAFS (а) и функций радиального распределения (б) для комплекса $3 \cdot 2\text{H}_2\text{O}$ в низкоспиновом состоянии.

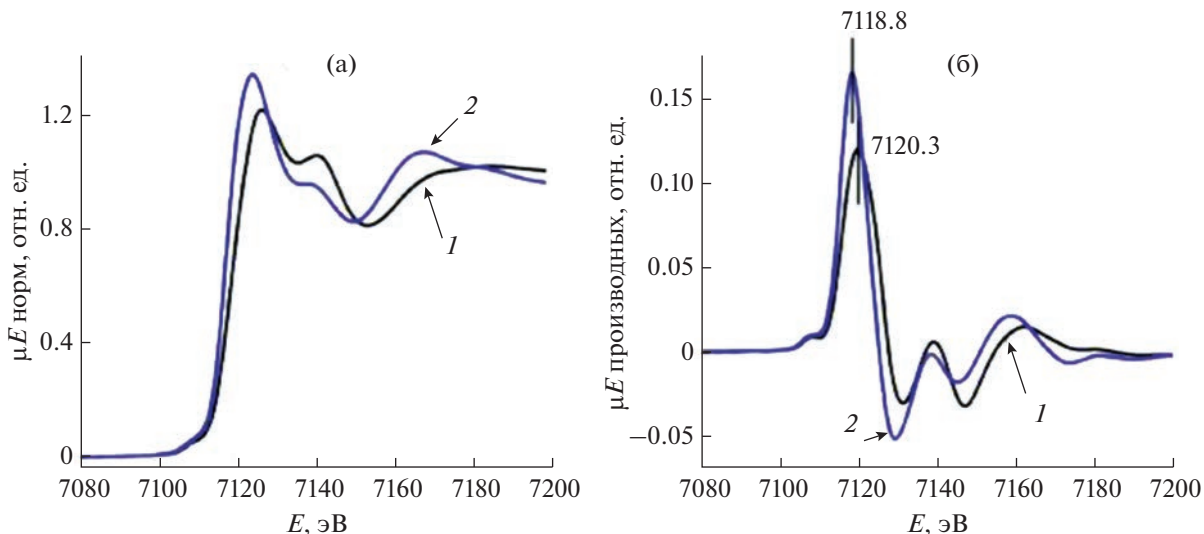


Рис. 19. Спектры поглощения рентгеновского излучения FeK-края вблизи краевой структуры (а) и первых производных (б) для комплекса $4 \cdot \text{H}_2\text{O}$ в низкоспиновом (300 К, 1) и высокоспиновом (420 К, 2) состояниях.

ближайших сфер окружения вокруг атома железа), полученные на основании данных EXAFS-спектроскопии, представлены в табл. 4 (рис. 18). Измерения спектров поглощения для комплексов в высокоспиновом состоянии удалось выполнить только для комплекса $[\text{Fe}(\text{L}^2)_2][\text{B}_{12}\text{H}_{12}] \cdot \text{H}_2\text{O}$ с более низкой температурой спин-кроссовера. На рис. 19 приведены XANES-спектры в области FeK-края поглощения и первые производные для комплекса в НС- и ВС-состояниях. Видно, что при нагреве комплекса до 420 К наблюдается

сдвиг края поглощения в область меньших энергий на 1.5 эВ, обусловленный сдвигом незанятых состояний и увеличением межатомных расстояний от центрального атома железа до соседних атомов ($\text{Fe}-\text{N}$) [78]. Это происходит вследствие того, что сила кристаллического поля лиганда в низкоспиновом состоянии комплекса выше, чем в высокоспиновом.

Для комплекса $[\text{Fe}(\text{L}^2)_2][\text{B}_{12}\text{H}_{12}] \cdot \text{H}_2\text{O}$ в ВС-состоянии моделирование спектра EXAFS было проведено в однократном приближении для фильтро-

ванного в реальном пространстве спектра ($\Delta R = 1.0\text{--}3.2 \text{ \AA}$). Координационные числа ближайших сфер окружения вокруг атома железа были фиксированы в соответствии с октаэдрической структурой координационного узла комплекса, полученного в процессе моделирования структуры комплекса в НС-состоянии в приближении многократного рассеяния. Усредненные данные локальной структуры вокруг атома железа для комплекса $[\text{Fe}(\text{L}^2)_2][\text{B}_{12}\text{H}_{12}] \cdot \text{H}_2\text{O}$ в НС- и ВС-состояниях приведены в табл. 5.

По данным РСА для $[\text{Cu}(\text{L}^2)_2]\text{SO}_4 \cdot 3\text{H}_2\text{O}$, две молекулы L^2 координируются по тридентатно-циклическому типу, образуя искаженно-октаэдрический полиэдр, узел CuN_6 (рис. 20) [77]. Два атома N имидазольных групп, расположенных в аксиальных позициях, имеют связи $\text{Cu}-\text{N}$, удлиненные на $0.2\text{--}0.3 \text{ \AA}$ по сравнению с экваториальными позициями за счет эффекта Яна–Теллера.

В соединении $[\text{Cu}(\text{L}^2)_2](\text{SO}_4) \cdot 3\text{H}_2\text{O}$ катионы и анионы связаны водородными связями N–H...O в сотовом слое, расположенном в плоскости *ab* (рис. 21). Соответствующие расстояния N...O находятся в диапазоне $2.66\text{--}2.76 \text{ \AA}$.

В ИК-спектрах комплексов в области $3600\text{--}3500 \text{ cm}^{-1}$ проявляются полосы валентных колебаний O–H. В спектре L^2 в интервале $3460\text{--}3200 \text{ cm}^{-1}$ расположены широкие слаборазрешенные полосы валентных колебаний NH-групп, которые включены в водородные связи. В спектрах комплексов полосы $\nu(\text{NH})$ заметно смещаются (3250 cm^{-1} в комплексе **3** · $2\text{H}_2\text{O}$ и 3291 cm^{-1} в **4** · H_2O) по сравнению со спектром L^2 и становятся более четкими, что, вероятно, связано с ослаблением водо-

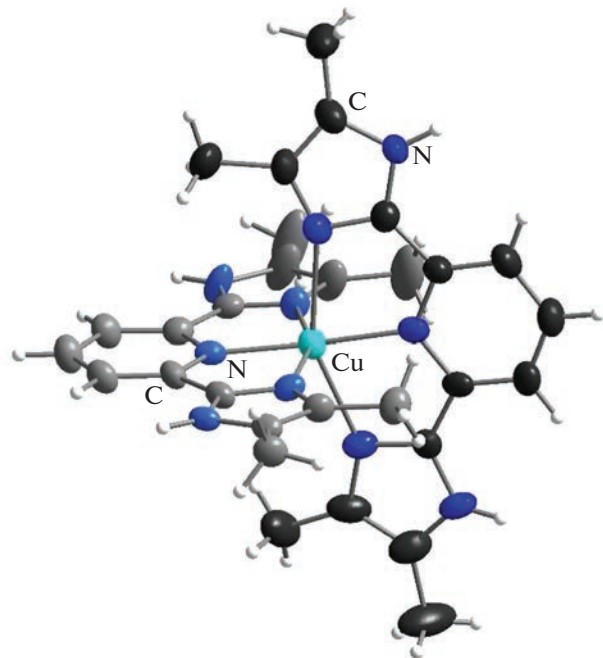


Рис. 20. Структура комплексного катиона $[\text{Cu}(\text{L}^2)_2]^{2+}$.

родных связей при комплексообразовании. В области $3200\text{--}2800 \text{ cm}^{-1}$ проявляются полосы $\nu(\text{CH})$ и $\nu(\text{CH}_3)$, а в диапазоне $2480\text{--}2430 \text{ cm}^{-1}$ – полосы валентных колебаний B–H. Число и положение полос валентных и деформационных колебаний колец в спектрах комплексов изменяется по сравнению со спектром L^2 , что свидетельствует о координации атомов азота гетероциклов к железу(II). Это подтверждается и данными спектров **3** · $2\text{H}_2\text{O}$ и

Таблица 4. Структура координационного узла комплексов $[\text{Fe}(\text{L}^2)_2][\text{B}_{10}\text{H}_{10}] \cdot 2\text{H}_2\text{O}$ и $[\text{Fe}(\text{L}^2)_2][\text{B}_{12}\text{H}_{12}] \cdot \text{H}_2\text{O}$ по данным EXAFS. R_i -межатомные расстояния, $2\sigma_i^2$ – фактор Дебая–Валлера, F_i – индекс, характеризующий статистическую ошибку подгонки

| Связь | $R_i, \text{ \AA}$ | | Углы | $\omega, \text{ град}$ | |
|--|----------------------------------|---------------------------------|---------------|----------------------------------|---------------------------------|
| | 3 · $2\text{H}_2\text{O}$ | 4 · H_2O | | 3 · $2\text{H}_2\text{O}$ | 4 · H_2O |
| Fe(1)–N(1) | 1.96 | 1.96 | N(1)Fe(1)N(8) | 106 | 104 |
| Fe(1)–N(3) | 1.98 | 1.82 | N(1)Fe(1)N(6) | 93.7 | 92.7 |
| Fe(1)–N(4) | 1.95 | 1.95 | N(1)Fe(1)N(9) | 94.5 | 94.6 |
| Fe(1)–N(6) | 1.94 | 1.95 | N(1)Fe(1)N(3) | 75.9 | 80.2 |
| Fe(1)–N(8) | 1.87 | 1.95 | N(3)Fe(1)N(9) | 101 | 100 |
| Fe(1)–N(9) | 1.96 | 1.96 | N(3)Fe(1)N(4) | 78.0 | 83.4 |
| $2\sigma^2(\text{Fe}–\text{N}), \text{ \AA}^2$ | 0.011 | 0.015 | $F_i^{(a)}$ | 1.6 | 2.1 |

Примечание. Точность определения параметров из данных EXAFS: межатомные расстояния и углы – $\pm 1\%$ (для ближайшей сферы окружения).

$$a F_i = \sum_i^N w_i^2 \left(\chi_i^{\text{exp}}(k) - \chi_i^{\text{th}}(k) \right)^2, w_i = \frac{k_i^n}{\sum_i k_i^n |\chi_j^{\text{exp}}(k)|}$$

Таблица 5. Структура локального окружения атома железа для комплекса $[Fe(L^2)_2][B_{12}H_{12}] \cdot H_2O$ в HC- и BC-состояниях по данным EXAFS

| Соединение | Центральный атом (Fe) – Рассеиватель | N_i | HC | | | BC | | | | |
|---|--------------------------------------|-------|--------------------|------------------------------|-------|--------------------|------------------------------|-------|--|--|
| | | | $R_i, \text{ \AA}$ | $2\sigma_i^2, \text{ \AA}^2$ | F_i | $R_i, \text{ \AA}$ | $2\sigma_i^2, \text{ \AA}^2$ | F_i | | |
| $[Fe(L^2)_2][B_{12}H_{12}] \cdot H_2O$ (4 · H₂O) | Fe – N | 6 | 1.95 | 0.011 | 2.1 | 2.17 | 0.016 | 1.2 | | |
| | Fe – C | 8 | 2.80 | 0.013 | | 3.00 | 0.020 | | | |
| | Fe – C | 4 | 3.19 | | | 3.46 | | | | |

Таблица 6. Параметры спектров диффузного отражения комплексов и значения B, C, Δ_{HC}

| Комплекс | $\lambda(^1A_1 \rightarrow ^1T_2)$ | $\lambda(^1A_1 \rightarrow ^1T_1)$ | $v(^1A_1 \rightarrow ^1T_2) - v(^1A_1 \rightarrow ^1T_1)$ | B | C | Δ_{HC} |
|---|------------------------------------|------------------------------------|---|-------|-------|--------------------|
| $[Fe(L^2)_2][B_{10}H_{10}] \cdot 2H_2O$ | 405 | 519 | 5423 | 161.8 | 713.5 | 1.92×10^4 |
| $[Fe(L^2)_2][B_{12}H_{12}] \cdot H_2O$ | 450 | 524 | 3138 | 155.6 | 686.2 | 1.92×10^4 |

4 · H₂O в дальней области, где проявляются валентные колебания металл–лиганд. Здесь обнаруживаются отсутствующие в спектре лиганда полосы при 294 и 295 cm^{-1} , которые принадлежат валентным колебаниям Fe–N.

В спектрах диффузного отражения комплексов **3 · 2H₂O** и **4 · H₂O** присутствуют полосы погло-

щения, которые относятся к переходам $^1A_1 \rightarrow ^1T_2$ и $^1A_1 \rightarrow ^1T_1$ в сильном октаэдрическом поле лигандов. В спектрах обоих комплексов отсутствует полоса $^5T_2 \rightarrow ^5E$, относящаяся к высокоспиновому состоянию железа(II). Расчет параметров расщепления проводили так же, как для комплексов с L¹, по разности частот поглощения $^1A_1 \rightarrow ^1T_2$ и

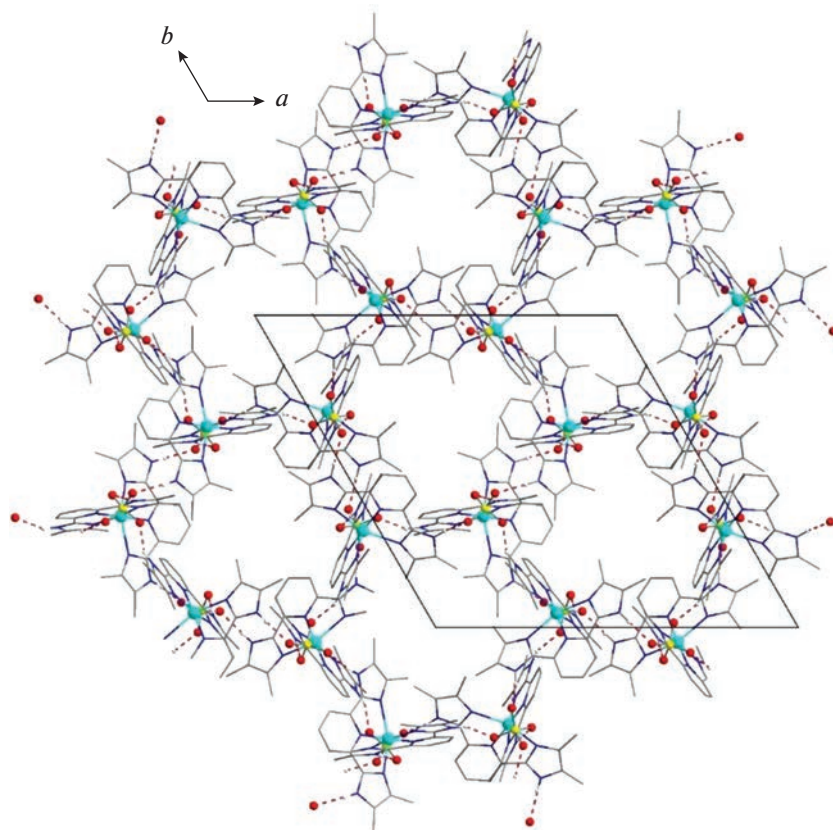


Рис. 21. Структура сотового слоя соединения $[Cu(L^2)_2](SO_4) \cdot 3H_2O$. Водородные связи представлены красными пунктирными линиями. Атомы водорода, за исключением участвующих в водородных связях, не показаны.

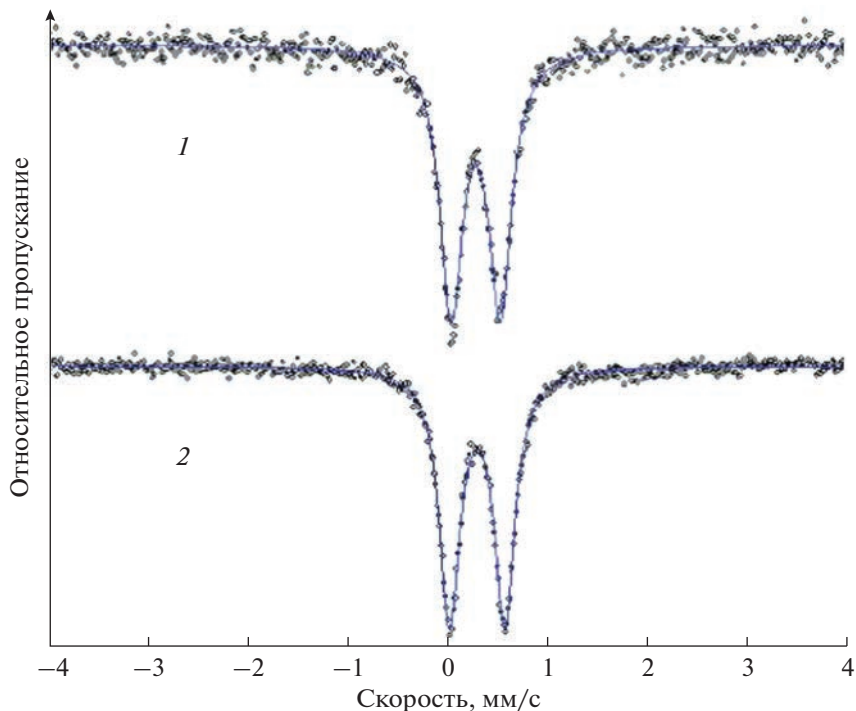


Рис. 22. Мессбауэровские спектры комплексов $[Fe(L^2)_2][B_{10}H_{10}] \cdot 2H_2O$ (1) и $[Fe(L^2)_2][B_{12}H_{12}] \cdot H_2O$ (2).

$^1A_1 \rightarrow ^1T_1$. Полученные данные (табл. 6) свидетельствуют о том, что 2,6-бис(4,5-диметил-1Н-имиазол-2-ил)пиридин является лигандом сильного поля. Рассчитанные величины параметров расщепления соответствуют неравенству, которое является условием проявления спин-кроссовера: $19000 \leq \Delta_{HC} \leq 22000 \text{ см}^{-1}$.

Мессбауэровские спектры обоих комплексов представляют собой квадрупольные дублеты (рис. 22, табл. 7), параметры которых соответствуют НС-состоянию железа.

Температурные зависимости χT исследуемых комплексов и их дегидратированных аналогов представлены на рис. 23, 24. Спин-кроссовер $^1A_1 \leftrightarrow ^5T_2$ наблюдается как для синтезированной фазы комплекса $[Fe(L^2)_2][B_{10}H_{10}] \cdot 2H_2O$ (**3 · 2H₂O**), так и для его дегидрата (**3**) (рис. 23). Величина χT **3 · 2H₂O** в эмпирически подобранным температурном диапазоне стабильности комплекса достигает значения $\sim 1.53 \text{ K cm}^3/\text{моль}$. Комплекс полностью не переходит в высокоспиновое состояние ($\chi T^{teor} = 3 \text{ K cm}^3/\text{моль}$) при нагреве до 520 К. Кристаллизационная вода существенно не оказывает- ся на достижаемых в рассматриваемом температурном диапазоне величинах χT . Вместе с тем остаточная величина χT в низкоспиновом со- стоянии для дегидратированного комплекса увеличивается до $0.21 \text{ K} \cdot \text{см}^3/\text{моль}$ относитель- но $0.1 \text{ K cm}^3/\text{моль}$ для исходного **3 · 2H₂O**. Оста-

точное значение $\chi T \neq 0$ может быть обусловлено наличием температурно-независимого параметризма либо частичным “размораживанием” орбитального момента. Несмотря на неполный спин-кроссовер, в изученном температурном диапазоне выполняется условие $d^2(\mu_{\text{эф}}(T))/dT^2 = 0$, что позволяет определить температуры прямого ($T_c \uparrow$) и обратного ($T_c \downarrow$) переходов для **3 · 2H₂O** (табл. 8). Видно, что температуры перехода при дегидратации несколько снижаются, в то время как гистерезис существенно не изменяется. Таким образом, дегидратация комплекса **3 · 2H₂O** наиболее существенно сказывается на температуре прямого и обратного переходов.

В отличие от предыдущих комплексов, для $[Fe(L^2)_2][B_{12}H_{12}] \cdot H_2O$ (**4 · H₂O**) и $[Fe(L^2)_2][B_{12}H_{12}]$ (**4**) наблюдается полный спин-кроссовер (рис. 24). Следует отметить, что в сравнении с предыдущей парой комплексов наблюдаемые температуры прямого СКО, $T_c \uparrow$, ниже на 110–177 К (табл. 8 в сравнении с табл. 3). Величина χT для данных

Таблица 7. Параметры мессбауэровских спектров комплексов

| Соединение | δ , мм/с | ϵ , мм/с | Γ , мм/с |
|---|-----------------|-------------------|-----------------|
| $[Fe(L^2)_2][B_{10}H_{10}] \cdot 2H_2O$ | 0.296 | 0.49 | 0.27 |
| $[Fe(L^2)_2][B_{12}H_{12}] \cdot H_2O$ | 0.311 | 0.55 | 0.25 |

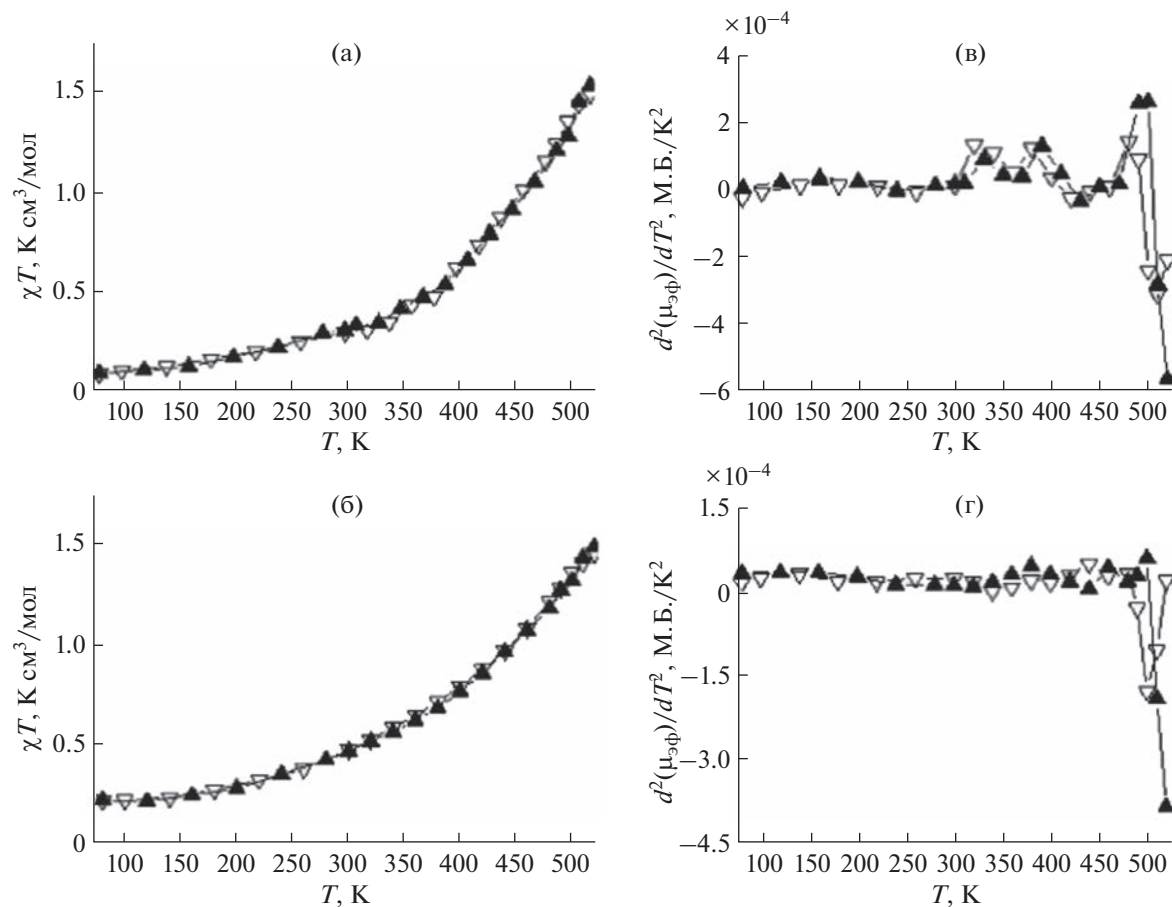


Рис. 23. Температурные зависимости (а, б) $\chi T(T)$ и (с, д) $d^2(\mu_{3\Phi}(T))/dT^2$ для комплексов $3 \cdot 2\text{H}_2\text{O}$ (а, в) и 3 (б, г).

комплексов в высокоспиновом состоянии составляет $2.88\text{ K cm}^3/\text{моль}$, что близко к теоретическому значению $3.0\text{ K cm}^3/\text{моль}$ для Fe(II) в высокоспиновом состоянии и согласуется с экспериментальными величинами $2.76\text{--}3.92\text{ K cm}^3/\text{моль}$ для комплексов переходных металлов с конфигурацией $3d^6$ [70]. В низкоспиновом состоянии величина остаточного магнитного момента составляет $0.03\text{ K cm}^3/\text{моль}$ для $4 \cdot \text{H}_2\text{O}$ и $0.18\text{ K cm}^3/\text{моль}$ для 4 . Таким образом, наличие кристаллизационной воды, как и в случае $[\text{Fe}(\text{L}^2)_2][\text{B}_{10}\text{H}_{10}] \cdot 2\text{H}_2\text{O}$ и $[\text{Fe}(\text{L}^2)_2][\text{B}_{10}\text{H}_{10}]$, обусловливает более низкие ве-

личины остаточного магнитного момента. Для комплекса $4 \cdot \text{H}_2\text{O}$ на кривой зависимости $\chi T(T)$ можно отметить наличие гистерезиса (8° , табл. 8). При переходе к дегидратированному комплексу 4 наблюдается снижение температуры перехода, а гистерезис на кривой отсутствует. Таким образом, кристаллизационная вода для $[\text{Fe}(\text{L}^2)_2][\text{B}_{12}\text{H}_{12}] \cdot \text{H}_2\text{O}$ и $[\text{Fe}(\text{L}^2)_2][\text{B}_{12}\text{H}_{12}]$ оказывает более существенное влияние на параметры спин-кроссовера, чем в случае предыдущей пары комплексов.

Таблица 8. Характеристики спин-кроссовера в исследуемых комплексах клозо-боратов Fe(II) с L^2

| Соединение | $T_c \uparrow$, K | $T_c \downarrow$, K | ΔT_c , K |
|-------------------------------|--------------------|----------------------|------------------|
| $3 \cdot 2\text{H}_2\text{O}$ | 505 | 492 | 13 |
| 3 | 502 | 488 | 14 |
| $4 \cdot \text{H}_2\text{O}$ | 395 | 387 | 8 |
| 4 | 325 | 325 | 0 |

Комpleksy c 2,6-бис(бензимидазол-2-ил)пиридином

В работе [45] представлены результаты синтеза и исследования комплексов железа(II) с 2,6-бис(бензимидазол-2-ил)пиридином (L^3) и клозо-борат(2-)ионами состава $[\text{Fe}(\text{L}^3)_2][\text{B}_{10}\text{H}_{10}] \cdot 2\text{H}_2\text{O}$ ($5 \cdot 2\text{H}_2\text{O}$), $[\text{Fe}(\text{L}^3)_2][\text{B}_{12}\text{H}_{12}] \cdot \text{H}_2\text{O}$ ($6 \cdot \text{H}_2\text{O}$). Комpleксы выделены из водно-этанольных растворов при стехиометрическом соотношении $\text{Fe(II)} : \text{L}^3$. Выводы о структуре $5 \cdot 2\text{H}_2\text{O}$ и $6 \cdot \text{H}_2\text{O}$ сделаны на основании данных методов статической магнитной восприимчивости, ИК-, СДО и EXAFS-спектро-

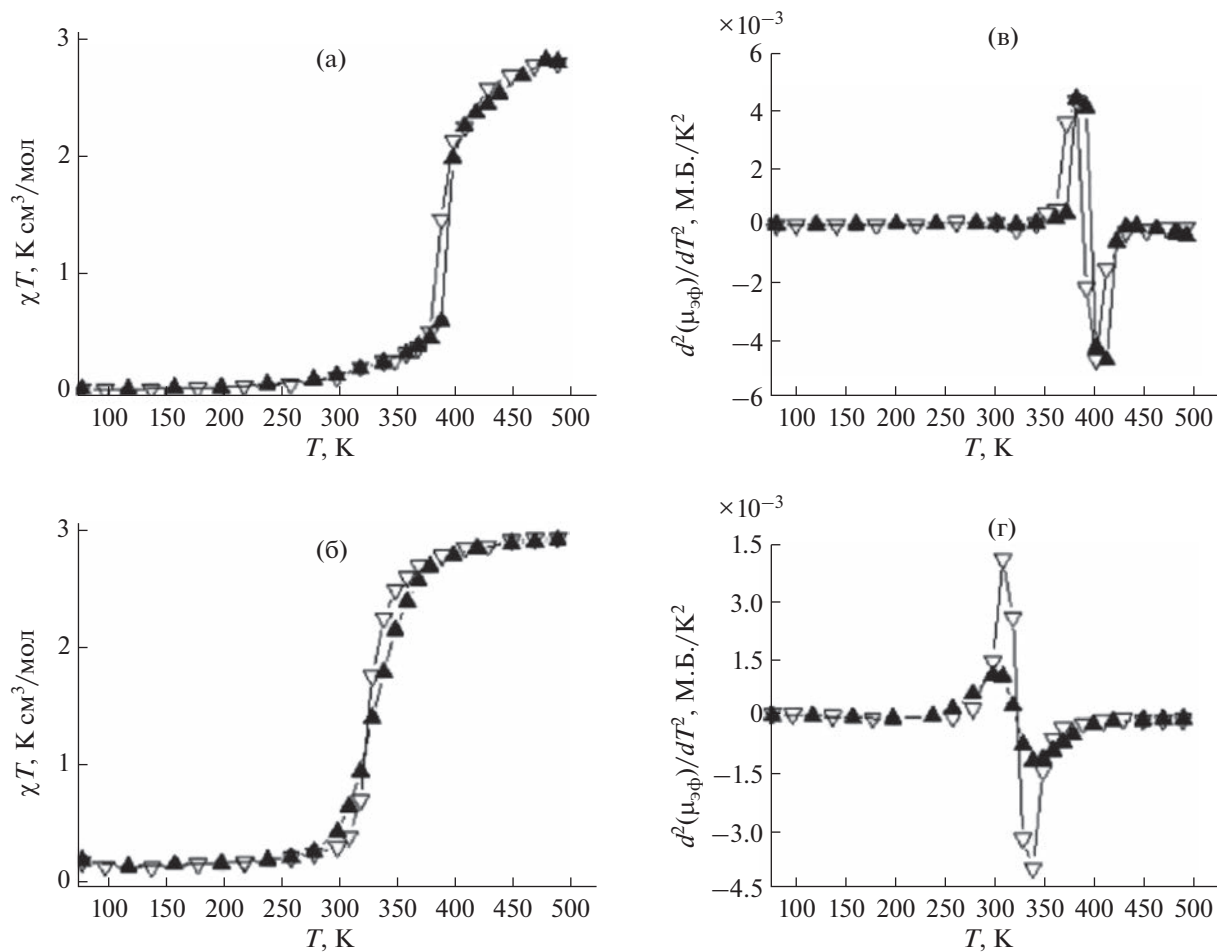


Рис. 24. Температурные зависимости (а, б) $\chi T(T)$ и (с, д) $d^2(\mu_0\Phi(T))/dT^2$ для комплексов 4 · H_2O (а, в) и 4 (б, г).

скопии, РФА и РСА для комплекса бромида никеля(II) с L^3 состава $[\text{Ni}(L^3)_2]\text{Br}_2 \cdot 1.23\text{H}_2\text{O} \cdot 3.33\text{EtOH}$ (7), имеющего такое же строение координационного полиэдра, как и комплекс железа(II) [79].

На рис. 25 и в табл. 9 приведены структурные данные для координационного узла, полученные в процессе моделирования спектра EXAFS комплекса $[\text{Fe}(L^3)_2][\text{B}_{12}\text{H}_{12}] \cdot \text{H}_2\text{O}$. Точность определения параметров из данных EXAFS: межатомные расстояния $\pm 1\%$ (для ближайшей сферы окружения).

Фаза 7 кристаллизуется в моноклинной сингонии. В независимой части находятся два комплексных катиона $[\text{Ni}(L^3)_2]^{2+}$ (рис. 26), расположенных в общих позициях.

Ион никеля имеет искаженно-октаэдрическое координационное окружение из-за присущей хелатным циклам стерической жесткости: “центральные” расстояния $\text{Ni}-\text{N}$ в среднем на 0.08 Å короче “боковых” (2.03 и 2.11 Å соответственно), а хелатные углы NNiN находятся в диапазоне 77.15°–77.97°. Молекулы лиганда имеют небольшое, но весьма значительное отклонение от пла-

нрности: угол наклона среднеквадратичных плоскостей бензимидазольных фрагментов по отношению к плоскостям соответствующих пиридинильных фрагментов составляет 3.4°–7.6°. Сложные катионы образуют псевдосимметричные слои (псевдо = $a/2$), перпендикулярные направлению b , чередующиеся с водородносвязанными сольвато-анионными слоями, нарушающими псевдосимметрию (рис. 27, 28). Катионы {Ni1} образуют три водородные связи $\text{N}-\text{H} \dots \text{O}$ с молекулами спирта ($d\text{N} \dots \text{O}$ 2.79, 2.78 и 2.75 Å) и одну связь $\text{N}-\text{H} \dots \text{O}$ с молекулой воды ($d\text{N} \dots \text{O}$ 2.87 Å). Катионы {Ni2} образуют только две водородные связи с молекулами спирта ($d\text{N} \dots \text{O}$ 2.74 и 2.73 Å) и еще две с внешнесферными ионами брома ($d\text{N} \dots \text{Br}$ 3.27, 3.19 Å).

В высокочастотной области спектров комплексов 5 · 2 H_2O и 6 · 2 H_2O (3460–3630 cm^{-1}) проявляются полосы валентных колебаний $\text{O}-\text{H}$. В спектре L^3 в области 3400–2800 cm^{-1} расположены широкие полосы валентных колебаний NH -групп, участвующих в водородных связях. В спек-

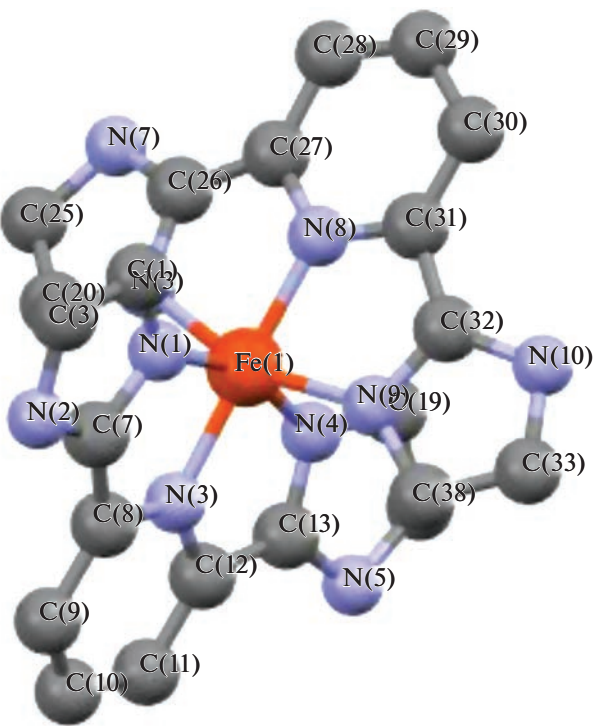


Рис. 25. Структура координационного узла, полученная в процессе моделирования спектра EXAFS комплекса $[\text{Fe}(\text{L}^3)_2][\text{B}_{12}\text{H}_{12}] \cdot \text{H}_2\text{O}$.

трах комплексов полосы $\nu(\text{NH})$ становятся более узкими и проявляются при $3210, 3183 \text{ см}^{-1}$ ($5 \cdot 2\text{H}_2\text{O}$) и 3274 см^{-1} ($6 \cdot \text{H}_2\text{O}$). Смещение полос $\nu(\text{NH})$ в высокочастотную область и более четкое их проявление по сравнению со спектром L связано с ослаблением водородных связей при переходе от лиганда к комплексам. В диапазоне 2500 – 2400 см^{-1}

Таблица 9. Некоторые длины связей и валентные углы в структуре комплекса $[\text{Fe}(\text{L}^3)_2][\text{B}_{12}\text{H}_{12}] \cdot \text{H}_2\text{O}$ по данным EXAFS

| Связь | $d, \text{ \AA}$ | Угол | $\omega, \text{ град}$ |
|---|------------------|----------------------------|------------------------|
| Fe(1)–N(8) | 1.90 | N(1)Fe(1)N(8) | 102.9 |
| Fe(1)–N(1) | 1.95 | N(1)Fe(1)N(6) | 93.3 |
| Fe(1)–N(9) | 1.98 | N(1)Fe(1)N(9) | 93.6 |
| Фактор Дебая–Валлера | | 0.009; $T = 300 \text{ K}$ | |
| $\sigma^2(\text{Fe}–\text{N}), \text{ \AA}^2$ | | 0.014; $T = 520 \text{ K}$ | |
| $F_{\text{EXAFS}}^{(a)}$ | | 1.6 | |

$$(a) F_{\text{EXAFS}} = \sum_i^N w_i^2 \left(\chi_i^{\text{exp}}(k) - \chi_i^{\text{th}}(k) \right)^2, \quad w_i = \frac{k_i^n}{\sum_i^N k_i^n |\chi_j^{\text{exp}}(k)|}$$

F_{EXAFS} – индекс, характеризующий качество моделирования. Точность определения параметров из данных EXAFS: межатомные расстояния $\pm 1\%$ (для ближайшей сферы окружности), парциальные координационные числа ± 10 – 20% .

проявляются полосы валентных колебаний B–H. Положение полос в области колебаний колец в спектрах комплексов $5 \cdot 2\text{H}_2\text{O}$ и $6 \cdot \text{H}_2\text{O}$ заметно изменяется по сравнению со спектром L³, что указывает на координацию атомов азота гетероциклов к железу(II). Это подтверждается и характером спектров $5 \cdot 2\text{H}_2\text{O}$, $6 \cdot \text{H}_2\text{O}$ в низкочастотной области. Здесь обнаружаются полосы при 280 см^{-1} , отсутствующие в спектре лиганда, которые можно отнести к валентным колебаниям M–N.

В СДО комплексов $5 \cdot 2\text{H}_2\text{O}$ и $6 \cdot \text{H}_2\text{O}$ в видимой и ближней инфракрасной областях присутствуют две широкие полосы поглощения: 537 и 755 nm (1); 510 и 709 nm (2). Полосы в интервале 500–540 nm с максимумами при 537 ($5 \cdot 2\text{H}_2\text{O}$) и 510 ($6 \cdot \text{H}_2\text{O}$) cm^{-1} можно отнести к d – d -переходу ${}^1\text{A}_1 \rightarrow {}^1\text{T}_1$ в сильном искаженно-октаэдрическом поле лигандов. Положение этих полос типично для низкоспиновых (НС) октаэдрических комплексов железа(II) с азотсодержащими лиганндами, имеющих хромофор FeN_6 [43, 49]. Полосы поглощения в интервале 700–760 nm с максимумами 755 ($5 \cdot 2\text{H}_2\text{O}$) и 709 nm ($6 \cdot \text{H}_2\text{O}$) относятся к d – d -переходу ${}^5\text{T}_2 \rightarrow {}^5\text{E}$ в высокоспиновых октаэдрических комплексах Fe(II) с азотсодержащими лиганндами. Для этих форм комплексов $\nu_{\text{BC}} = \Delta_{\text{BC}}$. Мы рассчитали значения параметров расщепления для $5 \cdot 2\text{H}_2\text{O}$ и $6 \cdot \text{H}_2\text{O}$ с использованием приближений: $\nu_{\text{HC}} = \Delta_{\text{HC}} - C + 86B^2/\Delta_{\text{HC}}$; $\Delta_{\text{BC}} \sim 19B$; $C = 4.41B$ [65, 66, 74] (табл. 10).

Сравнение значений параметров расщепления для трех классов изучаемых нами соединений – комплексов Fe(II) с 1,2,4-триазолами [43], *трис*(пиразол-1-ил)метанами [8, 43] и 2,6-бис(1Н-имидацол-2-ил)пиридинами [45–47, 77, 79] показывает, что 2,6-бис(1Н-имидацол-2-ил)пиридины являются лиганндами более сильного поля по сравнению с 1,2,4-триазолами, в то время как значения параметров расщепления Δ_{HC} и Δ_{BC} в комплексах с *трис*(пиразол-1-ил)метанами и 2,6-бис(1Н-имидацол-2-ил)пиридинами близки.

Мессбауэровские спектры комплексов, приведенные на рис. 29, представляют собой суперпозицию линий, относящихся к низкоспиновому и высокоспиновому состояниям атомов железа(II). В результате обработки спектров находили химический сдвиг δ (относительно α -Fe) и квадрупольное расщепление ϵ для каждой из форм (табл. 11). В обоих случаях основной является НС-форма с более низкими значениями δ и ϵ , при этом значение α_{BC} для комплекса с анионом $[\text{B}_{12}\text{H}_{12}]^{2-}$ почти в 2 раза выше, чем для комплекса с анионом $[\text{B}_{10}\text{H}_{10}]^{2-}$.

Результаты исследования статической магнитной восприимчивости изучаемых соединений представлены на рис. 30, 31. Оба изученных ком-

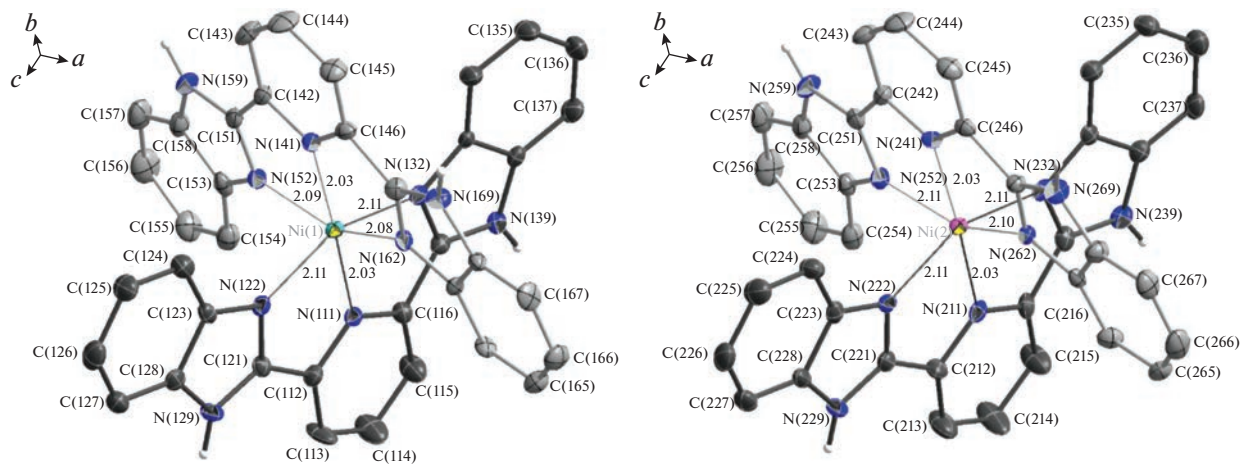


Рис. 26. Нумерация неводородных атомов и длина координационных связей в комплексных катионах $[\text{Ni}(\text{L}^3)^2]^{2+}$. Неводородные атомы показаны как эллипсоиды с вероятностью 50%. Атомы водорода, связанные с атомами углерода, для простоты опущены.

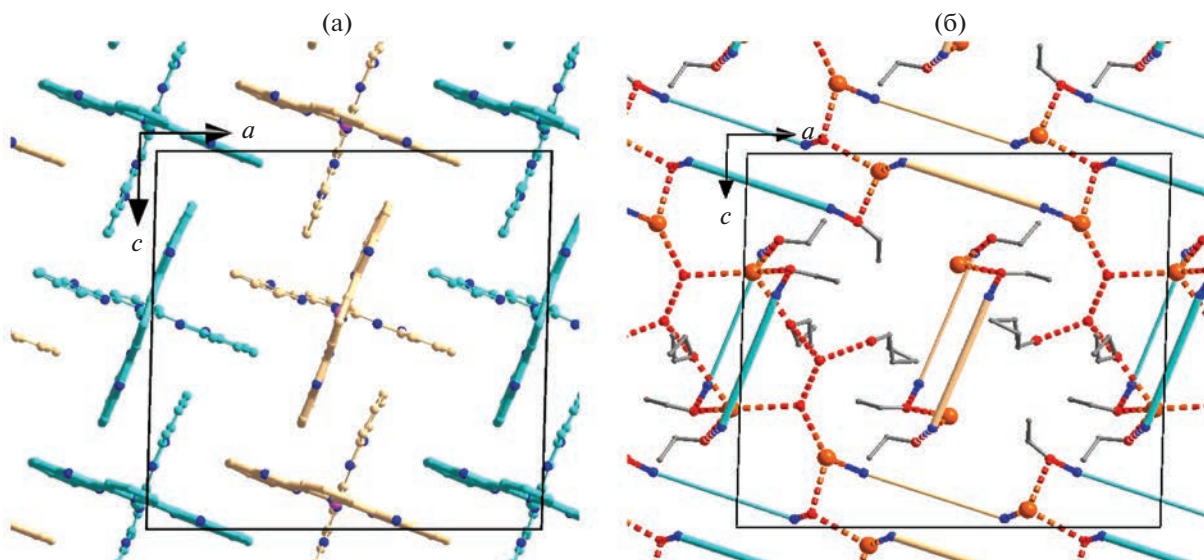


Рис. 27. Катионный (а) и сольватно-анионный (б) слои. Симметрично неэквивалентные катионы показаны синим цветом для {Ni1} и бежевым цветом для {Ni2}. В (б) лигандаe показаны схематически в виде сегментов соответствующего цвета, атомы H опущены, водородные связи обозначены пунктирной линией.

плекса в эмпирически подобранных температурных диапазонах стабильности комплексов демонстрируют спин-кроссовер как при наличии кристаллизационной воды (комpleксы **5 · 2H₂O** и **6 · H₂O**), так и в дегидратированном состоянии

(комpleксы **5** и **6**). Температуры прямого и обратного переходов представлены в табл. 12.

В случае комплексов **5 · 2H₂O** и **6 · H₂O** в высокоспиновой форме достигаются значения $\mu_{\text{eff}} = 4.5 - 4.7 \text{ М.Б.}$, что несколько ниже теоретического зна-

Таблица 10. Параметры спектров диффузного отражения комплексов и значения B, C, Δ_{HC}

| Комплекс | $v(^1\text{A}_1 \rightarrow ^1\text{T}_1)$, см ⁻¹ | $v(^5\text{T}_2 \rightarrow ^5\text{E})$, см ⁻¹ | B, см ⁻¹ | C, см ⁻¹ | Δ_{HC} , см ⁻¹ |
|----------------------------|---|---|---------------------|---------------------|---|
| 5 · 2H₂O | 1.86×10^4 | 1.32×10^4 | 697 | 3.07×10^3 | 1.96×10^4 |
| 6 · H₂O | 1.96×10^4 | 1.41×10^4 | 742 | 3.27×10^3 | 2.06×10^4 |

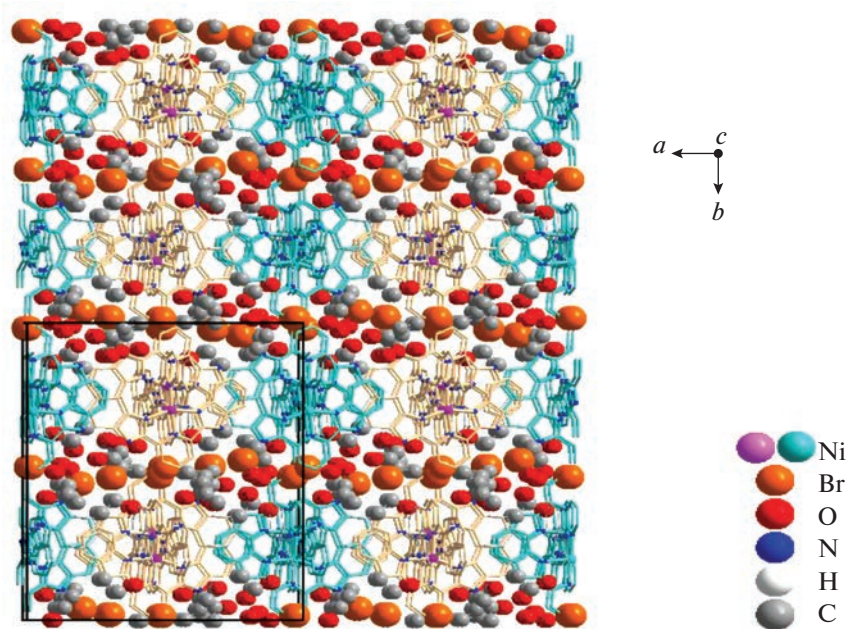


Рис. 28. Чередование катионного и сольватно-анионного слоев в структуре 7.

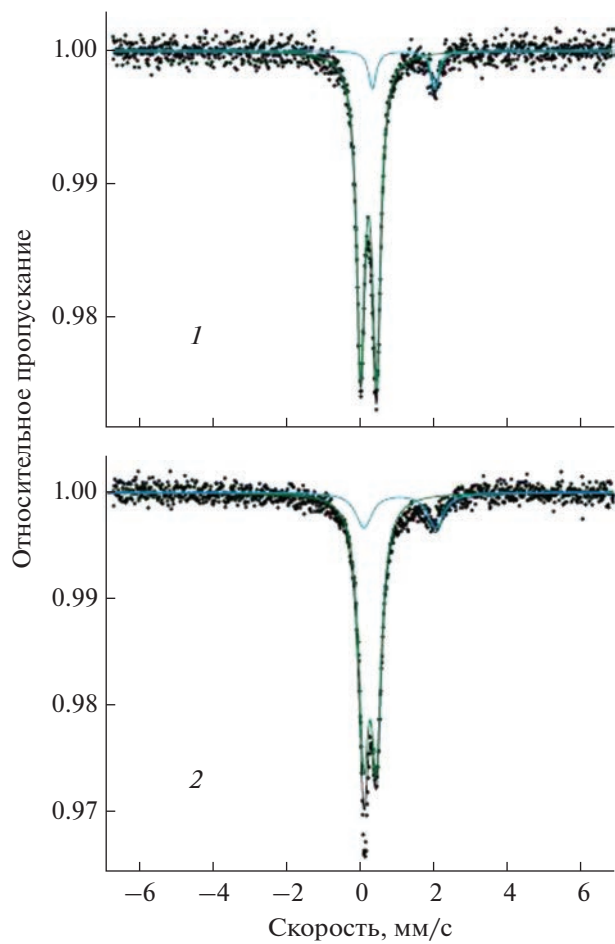


Рис. 29. Мессбауэровские спектры комплексов **5** · 2H₂O (1) и **6** · H₂O (2).

Таблица 11. Параметры мессбауэровских спектров комплексов **5 · 2H₂O** и **6 · H₂O**

| Комплекс | δ , мм/с | ϵ , мм/с | $\Gamma_{1,2}$, мм/с | α_{BC} |
|---|-----------------|-------------------|-----------------------|---------------|
| $[Fe(L^3)_2][B_{10}H_{10}] \cdot 2H_2O$ | 0.272 (HC) | 0.435 | 0.266 | 10.4 |
| | 1.223 (BC) | 1.698 | 0.245 | |
| $[Fe(L^3)_2][B_{12}H_{12}] \cdot H_2O$ | 0.289 (HC) | 0.344 | 0.350 | 19.2 |
| | 1.094 (BC) | 1.939 | 0.531 | |
| Абсолютная погрешность | ± 0.001 | ± 0.002 | ± 0.010 | |

чения 4.9 М.Б. В низкоспиновой форме для данных соединений наблюдаются значения остаточного $\mu_{\text{eff}} = 0.5\text{--}1.0$ М.Б. Переход от соединения $[Fe(L^3)_2][B_{10}H_{10}] \cdot 2H_2O$ к $[Fe(L^3)_2][B_{12}H_{12}] \cdot H_2O$ сопровождается снижением температур кроссовера на ~ 80 К и исчезновением гистерезиса (ΔT_c) для прямого и обратного переходов.

При дегидратации комплексов наблюдается увеличение максимальной температуры переходов и остаточного магнитного момента в низкоспиновом состоянии до величин $\mu_{\text{eff}} = 1.2\text{--}1.6$ М.Б. Сохраняется тенденция уменьшения температур СКО при переходе от $[Fe(L^3)_2][B_{10}H_{10}]$ к

$[Fe(L^3)_2][B_{12}H_{12}]$. При этом для $[Fe(L^3)_2][B_{10}H_{10}]$ в температурном диапазоне стабильности достигаются значения $\mu_{\text{eff}} = 3.3$ М.Б. При удалении молекул кристаллизационной воды также наблюдается увеличение/появление гистерезиса для прямого и обратного переходов в изучаемых комплексах (табл. 12).

Следует отметить, что значения T_c^\uparrow в комплексах *клоzo-боратов* железа(II) с L^2 и L^3 выше для $[B_{10}H_{10}]^{2-}$ в качестве противоиона по сравнению с $[B_{12}H_{12}]^{2-}$, в то время как в комплексах с L^1 , напротив, T_c^\uparrow выше для $[B_{12}H_{12}]^{2-}$. Это происходит вследствие того, что температуры прямого и об-

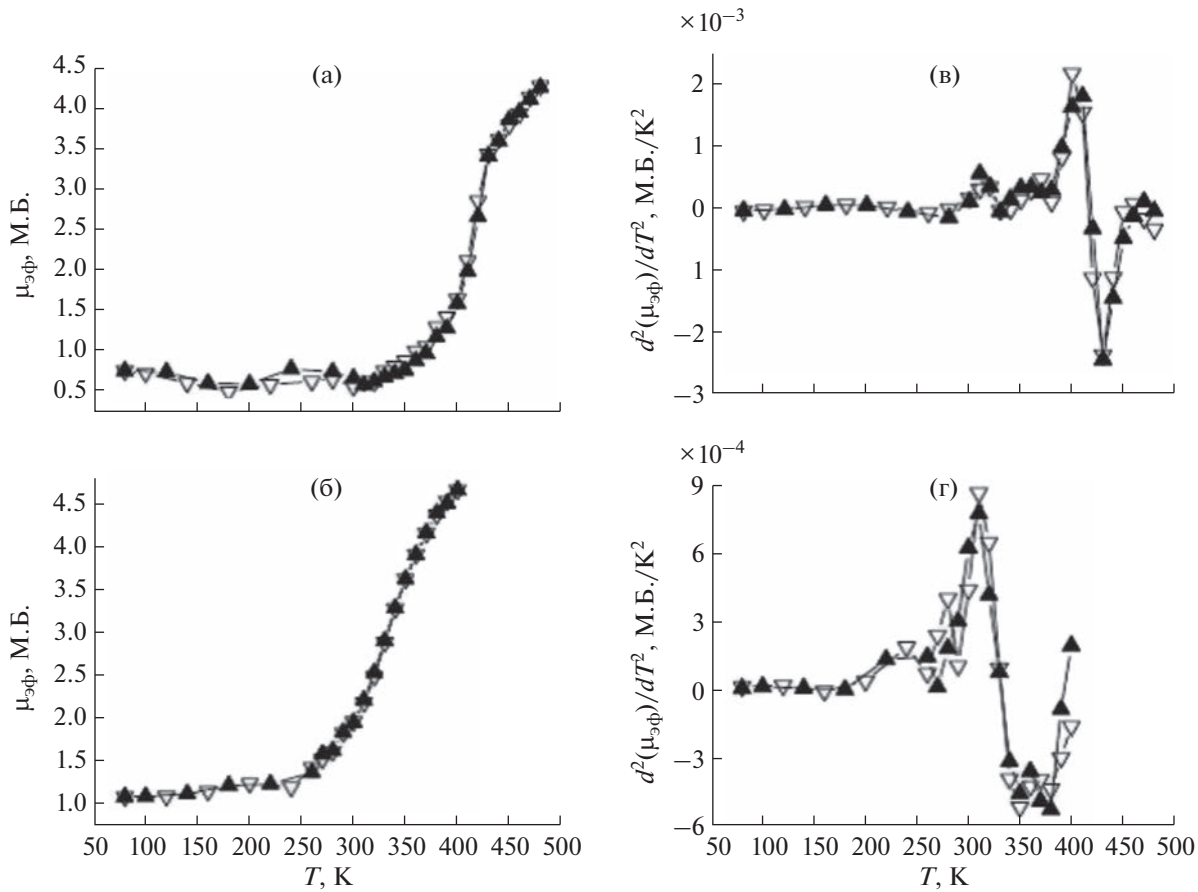


Рис. 30. Температурные зависимости μ_{eff} (а, б) и $d^2\mu_{\text{eff}}/dT^2$ (в, г) для $[Fe(L^3)_2][B_{10}H_{10}] \cdot 2H_2O$ и $[Fe(L^3)_2][B_{12}H_{12}] \cdot H_2O$ соответственно.

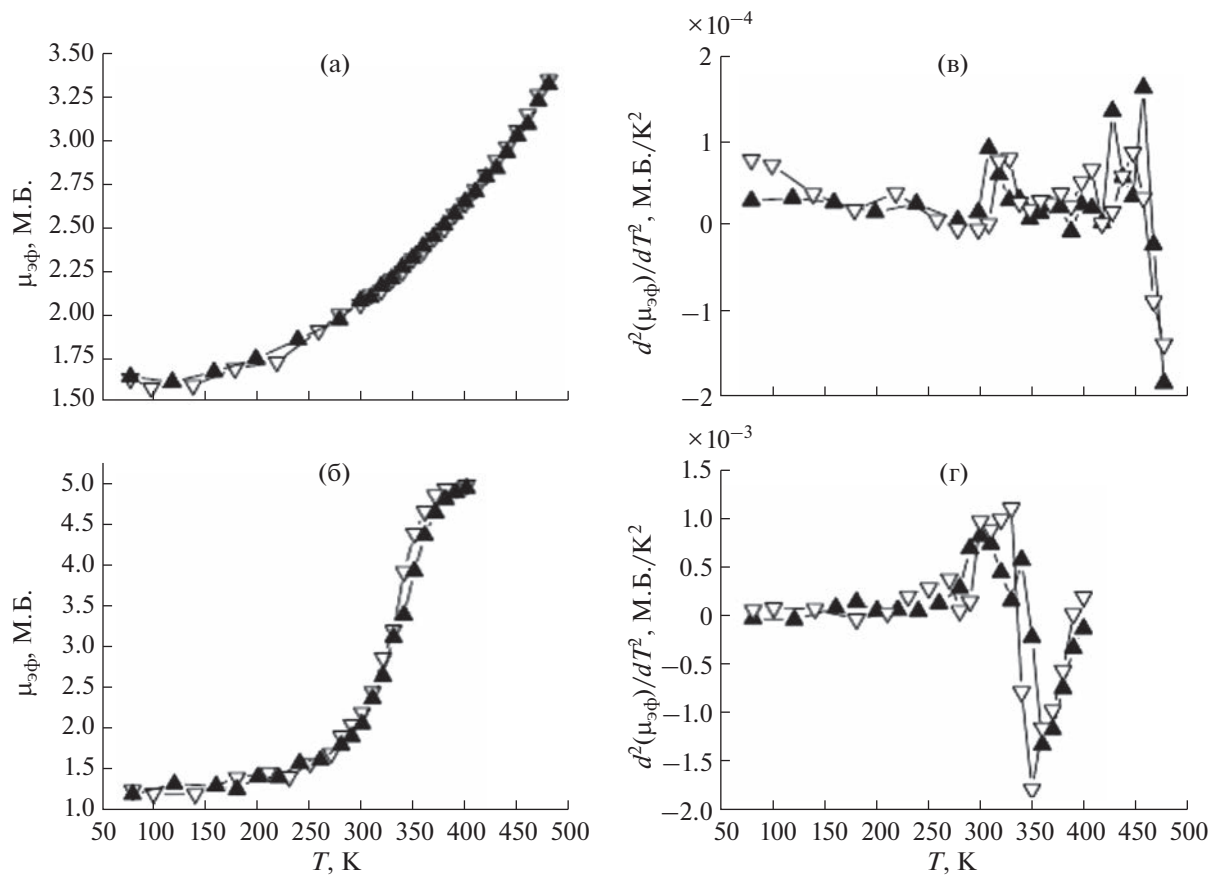


Рис. 31. Температурные зависимости $\mu_{\text{эфф}}$ (а и б) и $d^2\mu_{\text{эфф}}/dT^2$ (в и г) для дегидратированных комплексов $[\text{Fe}(\text{L}^3)_2][\text{B}_{10}\text{H}_{10}]$ и $[\text{Fe}(\text{L}^3)_2][\text{B}_{12}\text{H}_{12}]$ соответственно.

ратного СКО зависят от многих факторов и, в частности, от влияния внешнесферного аниона на силу поля лиганда.

ЗАКЛЮЧЕНИЕ

В настоящем обзоре приведены данные по синтезу и исследованию комплексов железа(II) с производными полиазотистых гетероциклических

лигандов трех классов: 1,2,4-триазола, *trics*(пиразол-1-ил)метана и 2,6-бис(*1H*-имидазол-2-ил)пиридина общего состава $[\text{FeL}_n]\text{A}_i \cdot m\text{H}_2\text{O}$ ($n = 2.3$; $i = 1.2$; $m = 0-2$), внешнесферное положение в которых занимают кластерные анионы бора. Все синтезированные комплексы имеют искаженнооктаэдрическое строение координационного полиэдра, координационный узел FeN_6 . Проведенная на основании данных СДО оценка силы поля лигандов показала, что для производных 1,2,4-триазола сила поля лиганда несколько ниже, чем *trics*(пиразол-1-ил)метана и 2,6-бис(*1H*-имидазол-2-ил)пиридина. Вместе с тем для всех трех классов лигандов соблюдается условие проявление спин-кроссовера: $19000 \leq \Delta_{\text{HC}} \leq 22000 \text{ см}^{-1}$.

Изучение зависимости $\mu_{\text{эфф}}(T)$ синтезированных комплексов методом статической магнитной восприимчивости показало, что они обладают спин-кроссовером ${}^1\text{A}_1 \leftrightarrow {}^5\text{T}_2$. Исследованы характер спин-кроссовера, его резкость и температуры прямого и обратного переходов.

Таблица 12. Температуры прямого (T_c^\uparrow) и обратного (T_c^\downarrow) переходов для комплексов $[\text{Fe}(\text{L}^3)_2]\text{A} \cdot n\text{H}_2\text{O}$

| Комплекс | T_c^\uparrow , К | T_c^\downarrow , К | ΔT_c , К |
|----------------------------|--------------------|----------------------|------------------|
| 5 · 2H₂O | 419 | 416 | 3 |
| 6 · H₂O | 332 | 332 | 0 |
| 5 | 468 | 463 | 5 |
| 6 | 347 | 336 | 11 |

ФИНАНСИРОВАНИЕ РАБОТЫ

Работа поддержана министерством науки и высшего образования Российской Федерации, проект № 121031700313-8.

КОНФЛИКТ ИНТЕРЕСОВ

Авторы заявляют, что у них нет конфликта интересов.

СПИСОК ЛИТЕРАТУРЫ

1. *Gütlich P., Goodwin H.* Spin Crossover in Transition Metal Compounds I-III. // *Top Curr. Chem.* 2004. V. 233–235.
2. *Halcrow M.A.* Spin-Crossover Materials Properties and Applications. U.K.: J. Wiley & Sons Ltd., 2013. 562 p.
3. *Levchenko G.G., Khristov A.V., Varyukhin V.N.* // *Low Temperature Phys.* 2014. V. 40. P. 571. <https://doi.org/10.1063/1.4891445>
4. *Gütlich P.* // *Coord. Chem. Rev.* 2001. V. 219–221. P. 839. [https://doi.org/10.1016/S0010-8545\(01\)00381-2](https://doi.org/10.1016/S0010-8545(01)00381-2)
5. *Halcrow M.A.* // *Crystals.* 2016. V. 6. № 5. P. 58. <https://doi.org/10.3390/cryst6050058>
6. *Boillot M.-L., Zarembowitch J., Sour A.* // in: Spin Crossover in Transition Metal Compounds II, *Top Curr. Chem.* 2004. V. 234. P. 261. <https://doi.org/10.1007/b95419>
7. *Miller R.G., Brooker S.* // *Chem. Sci.* 2016. V. 7. P. 2501. <https://doi.org/10.1039/c5sc04583e>
8. *Shakirova O.G., Lavrenova L.G.* // *Crystals.* 2020. V. 10. P. 843. <https://doi.org/10.3390/cryst10090843>
9. *Enriquez-Cabrera A., Rapakousiou A., Bello M.P. et al.* // *Coord. Chem. Rev.* 2020. V. 419. P. 213396. <https://doi.org/10.1016/j.ccr.2020.213396>
10. *Kumar K.S., Vela S., Heinrich B. et al.* // *Dalton Trans.* 2020. V. 49. P. 1022. <https://doi.org/10.1039/C9DT04411F>
11. *Kuppusamy S.K., Mizuno A., García-Fuente A. et al.* // *ACS Omega.* 2022. V. 7. № 16. P. 13654. <https://doi.org/10.1021/acsomega.1c07217>
12. *Bousseksou A., Molnár G., Salmon L. et al.* // *Chem. Soc. Rev.* 2011. V. 40. P. 3313. <https://doi.org/10.1039/C1CS15042A>
13. *Molnár G., Rat S., Salmon L. et al.* // *Adv. Mater.* 2018. V. 30. P. 1703862. <https://doi.org/10.1002/adma.201703862>
14. *Ibrahim N.M.J.N., Said S.M., Mainal A. et al.* // *Mater. Res. Bull.* 2020. V. 126. P. 110828. <https://doi.org/10.1016/j.materresbull.2020.110828>
15. *Guo W., Daro N., Pillet S. et al.* // *Chem. Eur. J.* 2020. V. 26. № 57. P. 12927. <https://doi.org/10.1002/chem.202001821>
16. *Cuza E., Mekuimemba C.D., Cosquer N. et al.* // *Inorg. Chem.* 2021. V. 60. № 9. P. 6536. <https://doi.org/10.1021/acs.inorgchem.1c00335>
17. *Craze A.R., Zenno H., Pfrunder M.C. et al.* // *Inorg. Chem.* 2021. V. 60. № 9. P. 6731. <https://doi.org/10.1021/acs.inorgchem.1c00553>
18. *Piedrahita-Bello M., Angulo-Cervera J.E., Courson R. et al.* // *J. Mater. Chem. C.* 2020. V. 8. № 18. P. 6001. <https://doi.org/10.1039/D0TC01532F>
19. *Nguyen T.D., Veauthier J.M., Angles-Tamayo G.F. et al.* // *J. Amer. Chem. Soc.* 2020. V. 142. № 10. P. 4842. <https://doi.org/10.1021/jacs.9b13835>
20. *Luo B.-X., Pan Y., Meng Y.-Sh. et al.* // *Eur. J. Inorg. Chem.* 2021. № 38. P. 3992. <https://doi.org/10.1002/ejic.202100622>
21. *Turo-Cortés R., Meneses-Sánchez M., Delgado T. et al.* // *J. Mater. Chem. C.* 2022. V. 10. P. 10686. <https://doi.org/10.1039/D2TC02039D>
22. *Aleshin D.Yu., Nikovskiy I., Novikov V.V. et al.* // *ACS Omega.* 2021. V. 6. № 48. P. 33111. <https://doi.org/10.1021/acsomega.1c05463>
23. *Shakirova O., Kokovkin V., Korotaev E. et al.* // *Inorg. Chem. Commun.* 2022. V. 146. P. 110112. <https://doi.org/10.1016/j.inoche.2022.110112>
24. *Avdeeva V.V., Malinina E.A., Kuznetsov N.T.* // *Coord. Chem. Rev.* 2022. V. 469. P. 214636. <https://doi.org/10.1016/j.ccr.2022.214636>
25. *Avdeeva V.V., Korolenko S.E., Malinina E.A. et al.* // *Russ. J. Gen. Chem.* 2022. V. 92. № 3. P. 393. <https://doi.org/10.1134/S1070363222030070>
26. *Авдеева В.В., Малинина Е.А., Жижин К.Ю. и др.* // *Журн. неорг. химии.* 2020. Т. 65. № 4. С. 495. <https://doi.org/10.31857/S0044457X20040029>
27. *Matveev E.Y., Avdeeva V.V., Zhizhin K.Y. et al.* // *Inorganics.* 2022. V. 10. № 12. P. 238. <https://doi.org/10.3390/inorganics10120238>
28. *Ali F., Hosmane N.S., Zhu Y.* // *Molecules.* 2020. V. 25. P. 828. <https://doi.org/10.3390/molecules25040828>
29. *Sivaev I.B., Bregadze V.I., Kuznetsov N.T.* // *Russ. Chem. Bull.* 2002. V. 51. P. 1362. <https://doi.org/10.1023/A:1020942418765>
30. *Barba-Bon A., Salluce G., Lostalé-Seijo I. et al.* // *Nature.* 2022. V. 603. № 7902. P. 637. <https://doi.org/10.1038/s41586-022-04413-w>
31. *Avdeeva V.V., Garaev T.M., Malinina E.A. et al.* // *Rus. J. Inorg. Chem.* 2022. V. 67. № 1. P. 28. <https://doi.org/10.1134/S0036023622010028>
32. *Fanfrlík J., Lepšík M., Horinek D. et al.* // *ChemPhysChem.* 2006. V. 7. № 5. P. 1100. <https://doi.org/10.1002/cphc.200500648>
33. *Thirumagal B.T.S., Zhao X.B., Bandyopadhyaya A.K. et al.* // *Bioconjugate chemistry.* 2006. V. 17. № 5. P. 1141. <https://doi.org/10.1021/bc060075d>
34. *Hu K., Yang Z., Zhang L. et al.* // *Coord. Chem. Rev.* 2020. V. 405. P. 213139. <https://doi.org/10.1016/j.ccr.2019.213139213139>
35. *Goswami L.N., Ma L., Chakravarty S. et al.* // *Inorg. Chem.* 2013. V. 52. № 4. P. 1694. <https://doi.org/10.1021/ic3017613>
36. *Fink K., Uchman M.* // *Coord. Chem. Rev.* 2021. V. 431. P. 213684. <https://doi.org/213684> <https://doi.org/10.1016/j.ccr.2020.213684>
37. *Pankhurst Q.A., Thanh N.T.K., Jones S.K. et al.* // *J. Phys. D: Appl. Phys.* 2009. V. 42. № 22. P. 224001. <https://doi.org/10.1088/0022-3727/42/22/224001>

38. *Zimmermann L.W., Schleid T.* // Z. Kristallogr. 2013. V. 228. № 10. P. 558.
<https://doi.org/10.1524/zkri.2013.1634>
39. *Avdeeva V.V., Vologzhanina A.V., Goeva L.V. et al.* // Z. Anorg. Allg. Chem. 2014. V. 640. № 11. P. 2149.
<https://doi.org/10.1002/zaac.201400137>
40. *Kravchenko E.A., Gippius A.A., Kuznetsov N.T.* // Russ. J. Inorg. Chem. 2020. V. 65. P. 546.
<https://doi.org/10.1134/S0036023620040105>
41. *Kravchenko E.A., Gippius A.A., Polyakova I.N. et al.* // Z. Anorg. Allg. Chem. 2017. V. 643. № 23. P. 1939.
<https://doi.org/10.1002/zaac.201700293>
42. *Korolenko S.E., Avdeeva V.V., Malinina E.A. et al.* // Russ. J. Coord. Chem. 2020. V. 46. P. 297.
<https://doi.org/10.1134/S1070328420050024>
43. *Lavrenova L.G., Shakirova O.G.* // Eur. J. Inorg. Chem. 2013. № 5–6. P. 670.
<https://doi.org/10.1002/ejic.201200980>
44. *Lavrenova L.G.* // Rus. Chem. Bull. 2018. V. 67. № 7. P. 1142.
<https://doi.org/10.1007/s11172-018-2195-3>
45. *Иванова А.Д., Лавренова Л.Г., Коротаев Е.В. и др.* // Журн. неорг. химии. 2020. Т. 65. № 11. С. 1497.
<https://doi.org/10.1134/S0036023620110078>
46. *Иванова А.Д., Лавренова Л.Г., Коротаев Е.В. и др.* // Журн. неорг. химии. 2022. Т. 67. № 8. С. 1058.
<https://doi.org/10.31857/S0044457X22080177>
47. *Lavrenova L.G., Shakirova O.G., Korotaev E.V. et al.* // Molecules. 2022. V. 27. № 16. P. 5093.
<https://doi.org/10.3390/molecules27165093>
48. *Goldstein P., Ladell J., Abowitz G.* // Acta Crystallogr. 1969. V. B25. № 1. P. 135.
<https://doi.org/10.1107/S0567740869001865>
49. *Лавренова Л.Г., Ларионов С.В.* // Коорд. химия. 1998. Т. 24. № 6. С. 403.
50. *Зеленцов В.В.* // Коорд. химия. 1992. Т. 18. № 8. С. 787.
51. *Bushuev M.B., Lavrenova L.G., Shvedenkov Yu.G. et al.* // Russ. J. Coord. Chem. 2008. V. 34. № 3. P. 190.
<https://doi.org/10.1134/S107032840803007X>
52. *Berezovskii G.A., Bushuev M.B., Pishchur D.P. et al.* // J. Therm. Anal. Calorim. 2008. V. 93. № 3. P. 999.
<https://doi.org/10.1007/s10973-007-8703-6>
53. *Шакирова О.Г., Лавренова Л.Г., Икорский В.Н. и др.* // Химия в интересах устойчивого развития. 2002. Т. 10. № 6. С. 795.
54. *Шакирова О.Г., Далецкий В.А., Лавренова Л.Г. и др.* // Журн. неорг. химии. 2013. Т. 58. № 6. С. 739.
<https://doi.org/10.1134/S0036023613060211>
55. *Haasnoot J.G., Vos G., Groeneveld W.L.* // Z. Naturforsch. B. 1977. V. 32. № 12. P. 1421.
<https://doi.org/10.1515/znb-1977-1212>
56. *Синдицкий В.П., Сокол В.И., Фогельзане А. И др.* // Журн. неорг. химии. 1987. Т. 32. № 8. С. 1950.
57. *Trofimenco S.* // J. Am. Chem. Soc. 1970. V. 92. № 17. P. 5118.
<https://doi.org/10.1021/ja00720a021>
58. *Reger D. L., Little C A., Rheingold A. L. et al.* // Inorg. Chem. 2001. V. 40. № 7. P. 1508.
<https://doi.org/10.1021/ic001102t>
59. *Bigmore H.R., Lawrence S.C., Mountford P. et al.* // Dalton Trans. 2005. P. 635.
<https://doi.org/10.1039/B413121E>
60. *Hawthorne M.F.* // Angew. Chem. Int. Ed. Engl. 1993. V. 32. № 7. P. 950.
<https://doi.org/10.1002/anie.199309501>
61. *Спрышкова Р.А.* Биологические основы нейтронно-ахватной терапии на боре-10. Дис. ... докт. биол. наук. М.: ОНЦ им. Н.Н. Блохина РАМН. 1999.
62. *Шакирова О.Г., Лавренова Л.Г., Куратьева Н.В. и др.* // Коорд. химия. 2010. Т. 36. № 4. С. 275.
<https://doi.org/10.1134/S1070328410040068>
63. *Шакирова О.Г., Далецкий В.А., Лавренова Л.Г. и др.* // Коорд. химия. 2011. Т. 37. № 7. С. 511.
<https://doi.org/10.1134/S107032841106008X>
64. *Шакирова О.Г., Лавренова Л.Г., Богомяков А.С. и др.* // Журн. неорг. химии. 2015. Т. 60. № 7. С. 869.
<https://doi.org/10.1134/S003602361507013X>
65. *Ливер Э., Гринберг Я.Х., Тульчинский М.Л.* Электронная спектроскопия неорганических соединений. М.: Мир, 1987. Т. 2. 443 с.
66. *Hauser A.* // Top. Curr. Chem. 2004. V. 233. P. 49.
<https://doi.org/10.1007/b13528>
67. *Шакирова О.Г., Далецкий В.А., Лавренова Л.Г. и др.* // Журн. структ. химии. 2014. Т. 55. № 1. С. 50.
<https://doi.org/10.1134/S0022476614010077>
68. *Wiesboeck R.A., Hawthorne M.F.* // J. Am. Chem. Soc. 1964. V. 86. № 8. P. 1642.
<https://doi.org/10.1021/ja01062a042>
69. *Кононова Е.Г.* Колебательные спектры и особенности электронного строения 11-вершинных клоzo- и нидокарборанов. Дис. ... канд. хим. наук. М., 2005. 120 с.
70. *Carlin R.L.* Magnetochemistry. Berlin: Springer-Verlag, 1986. 328 p.
71. *Варнек В.А., Лавренова Л.Г.* // Журн. структ. химии. 1995. Т. 36. № 1. С. 120.
72. *Лавренова Л.Г., Шакирова О.Г., Икорский В.Н. и др.* // Коорд. химия. 2003. Т. 29. № 1. С. 24.
<https://doi.org/10.1023/A:1021834715674>
73. *Накамото К.* ИК-спектры и спектры КР неорганических координационных соединений. М.: Мир, 1991. 536 с.
74. *Sugano S., Tanabe Y., Kamimura H.* Multiplets of transition – metal ions in crystals. N.Y.: Academic Press, Pure Appl. Chem., 1970.
75. *Selwood P.W.* Magnetochemistry 2nd E. Interscience Publishers. N.Y., 1956.
76. *Ракитин Ю.В., Калинников В.Т.* Современная магнетохимия. СПб.: Наука, 1994.
77. *Ianova A.D., Korotaev E.V., Komarov V.Yu. et al.* // Inorg. Chim. Acta. 2022. V. 532. P. 120746.
<https://doi.org/10.1016/j.ica.2021.120746>
78. *Vlasenko V.G., Kubrin S.P., Garnovskii D.A. et al.* // Chem. Phys. Lett. 2020. V. 739. P. 136970.
<https://doi.org/10.1016/j.cplett.2019.136970>
79. *Ianova A.D., Korotaev E.V., Komarov V.Yu. et al.* // New. J. Chem. 2020. V. 44. P. 5834.
<https://doi.org/10.1039/D0NJ00474J>